

一般社団法人 軽金属学会
第150回春期大会プログラム

- 主催： 一般社団法人軽金属学会
後援： 富山市、公益財団法人軽金属奨学会
協賛： 一般社団法人日本アルミニウム協会、一般社団法人日本マグネシウム協会、
一般社団法人日本チタン協会、一般社団法人日本塑性加工学会、公益社団法人日本鑄造工学会、
一般社団法人軽金属溶接協会、公益社団法人日本金属学会、一般社団法人日本鉄鋼協会、
公益社団法人日本材料学会、一般社団法人日本機械学会、公益社団法人自動車技術会、
一般社団法人日本ダイカスト協会、一般社団法人軽金属製品協会、一般社団法人溶接学会、
公益社団法人日本顕微鏡学会、一般社団法人粉体粉末冶金協会、日本チタン学会、
一般社団法人資源・素材学会、一般社団法人日本航空宇宙学会、日本熱物性学会、
日本バイオマテリアル学会
- 会期： 2026年5月15日（金）～18日（月）
会場： 富山国際会議場（〒930-0084 富山市大手町1番2号）
懇親会会場： ANAクラウンプラザホテル富山（〒930-0084 富山県富山市大手町2番3号）

行事スケジュール：

5月15日（金） 富山国際会議場 3階 メインホール

- 13:00～ 総会受付（3階）
13:30～14:40 定時総会・表彰式 軽金属学会賞、軽金属学会功労賞、軽金属功績賞
14:50～15:50 第29回軽金属学会賞受賞講演
「高温変形における不均一変形：障害物周りの転位の運動」
宇宙航空研究開発機構 専任教授 佐藤 英一 君
16:00～17:00 市民フォーラム「水の輪廻 ～ ^{とみやま}富山・^{とみみず}富水・^{とみこころ}富心 2026」
富山大学 副学長 張 勁 教授
17:10～18:30 レセプション・表彰式招待者懇親会（富山国際会議場 3階 ホワイエ）

5月16日（土） 富山国際会議場

- 9:00～12:10 一般講演
テーマセッション1 「アルミニウム合金のリサイクルと不純物低減・制御」（第1会場）
テーマセッション4 「サステナブル蓄電池電極用軽金属材料の開発Ⅱ」（第4会場）
10:30～12:10 軽金属奨学会特別奨学生セッション（第2会場）
テーマセッション3 「キンクの材料科学（Ⅱ）」（第3会場）
12:10～13:10 女性会員の会（ANAクラウンプラザホテル富山 3階 ASUKA I、オンライン）
13:10～15:15 ポスターセッション（富山国際会議場 3階 ホワイエ）
※在席時間をポスターNo.の奇数/偶数に分けて実施
13:30～18:00 軽金属企業研究会（富山国際会議場 2階 ホワイエ）

- 15:20～16:40 一般講演
 企業招待講演（第2会場）
 テーマセッション1「アルミニウム合金のリサイクルと不純物低減・制御」（第1会場）
 テーマセッション3「キンクの材料科学（Ⅱ）」（第3会場）
 テーマセッション4「サステナブル蓄電池電極用軽金属材料の開発Ⅱ」（第4会場）
- 16:50～17:50 第14回男女共同参画セッション（第1会場、オンライン）
- 18:30～20:30 懇親会（ANAクラウンプラザホテル富山 3階 鳳）

5月17日（日） 富山国際会議場

- 9:00～17:00 一般講演
- 9:00～14:50 テーマセッション1「アルミニウム合金のリサイクルと不純物低減・制御」（第1会場）
- 9:00～12:10 テーマセッション3「キンクの材料科学（Ⅱ）」（第3会場）
- 9:00～12:10 テーマセッション5「中高温域における軽金属材料の力学特性と加工技術」（第4会場）
- 9:00～14:50 テーマセッション6「生体応用に向けた軽金属材料の新展開」（第5会場）
- 10:30～14:50 テーマセッション2「金属積層造形体およびセル構造体における不均一変形の力学」（第2会場）
- 12:10～13:10 若手の会（ANAクラウンプラザホテル富山 19階 天空、オンライン）

5月16日（土）、17日（日） 富山国際会議場 1階 交流ギャラリー

機器・カタログ展示

5月16日（土）、17日（日） 富山国際会議場 1階 交流ギャラリー

北陸支部企画展示

5月18日（月） 見学会

- 9:30～17:00 「立山黒部ジオパーク視察」（要事前予約）

- 講演時間 一般講演は講演 15 分、質疑応答 5 分
- 総合受付 5月15日（金） なし
5月16日（土）、17日（日） 8:15～ 富山国際会議場 1階 ロビー
- 講演会場

会場	館名	階	室名
第1会場	富山国際会議場	3階	メインホール
第2会場		2階 多目的 会議室	201
第3会場			202
第4会場			203
第5会場			204
第6会場		2階	特別会議室

- 会員休憩室・試写室（2階 多目的会議室205）

■会場までの案内図



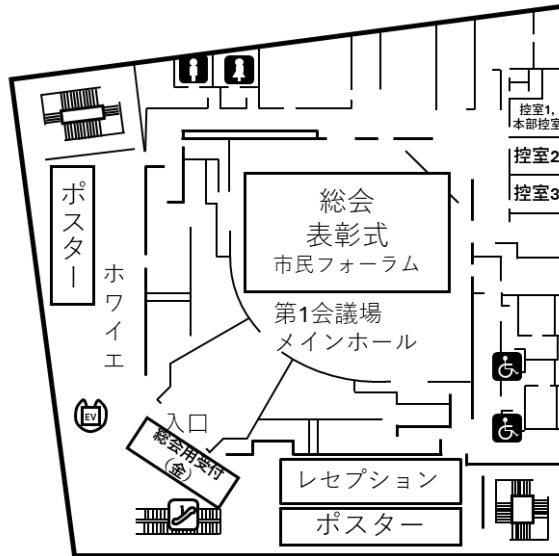
■会場案内図



2F



3F

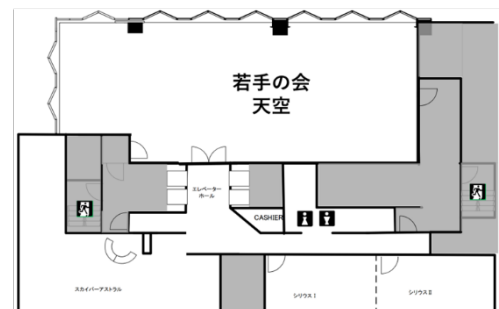


ANAクラウンプラザホテル富山

3F



19F



軽金属企業研究会

企業招待講演「北陸支部の軽金属企業紹介」

富山で触れる「軽金属力」～北陸エリアの軽金属企業が語る、ものづくりの魅力と未来～

- 日時 2026年5月16日(土) 15:20～16:40
- 場所 富山国際会議場 2階多目的会議室 201 (第2会場)
- 講演題目(5社)

「アイシン軽金属株式会社の紹介」(仮題)	アイシン軽金属株式会社	吉田 朋夫氏
「三協立山株式会社の紹介」(仮題)	三協立山株式会社	土肥 正芳氏
「富山住友電工株式会社の紹介」	富山住友電工株式会社	
「株式会社UACJ 福井製造所の紹介」	株式会社UACJ	工藤 智行氏
「YKK APが進めるアルミ資源循環に向けた取組」	YKK AP株式会社	荒城 昌弘氏

学生会員向け企業紹介

- 日時 2026年5月16日(土) 13:30～18:00
- 場所 富山国際会議場 2階ホワイエ
- 参加企業

株式会社UACJ	株式会社神戸製鋼所	日本軽金属株式会社	公益財団法人軽金属奨学会
MA アルミニウム株式会社	SUS株式会社	YKK AP株式会社	
三協立山株式会社	東洋アルミニウム株式会社	株式会社豊田中央研究所	
本田金属技術株式会社	理研軽金属工業株式会社	株式会社レゾナック	

男女共同参画セッション

第14回男女共同参画セッション

「軽金属キャリアのリアル ～地方・海外・大学の視点から学ぶ働き方～」

就職を控える学生にとって、入社後のキャリア形成や私生活の在り方は、期待と不安が交錯する最大の関心事である。近年、インターンシップ等の普及により業務内容の適性(マッチング)を確認する機会は増加しているが、実際の勤務地における生活環境やライフスタイルについては、短期間の就業体験では実感を伴う理解を得にくいのが実状である。

実際においては、地方勤務や国内外への転勤、あるいは結婚や育児といったライフイベントを経験しながら、個々が独自の「ワークライフバランス」を構築していくこととなる。

本セッションでは、材料系学科の出身者が活躍する企業の若手・中堅社員の視点で、地方勤務および海外勤務の「リアル(実態)」を紹介する。また、長年学生の就職支援に携わってきた教員の立場からも、企業・アカデミック、それぞれの進路について所感を共有する。学生、大学関係者、企業の人事担当者が一堂に会し、多角的な視点から活発な議論を展開することで、軽金属業界で働くということについて理解を深める場としたい。

- 日時 2026年5月16日(土) 16:50～17:50
- 場所 富山国際会議場 3階メインホール(第1会場)(WEB視聴用会場併設)
- プログラム

16:50～16:55	開会の挨拶 (男女共同参画委員会副委員長 福本 信次)	
16:55～17:10	「地方勤務のリアル、富山・黒部で描くキャリア」	YKK AP株式会社 技術研究本部 小田 省吾
17:10～17:25	「海外勤務のリアル、タイ駐在経験から見てきたもの」	株式会社UACJ マーケティング・技術本部 R&Dセンター 小林 亮太
17:25～17:40	「学生達が描く希望、教育者の眼差し」	日本大学 理工学部 教授 星野 倫彦
17:40～17:45	総合討論	
17:45～17:50	閉会の挨拶 (男女共同参画委員会担当理事 森 努)	
	世話人: 株式会社UACJ 新野 拓、YKK AP株式会社 森 努	

一般社団法人 軽金属学会
 第150回春期大会プログラム
 講演セッション一覧
 会場：富山国際会議場
 2026年5月16日(土)

	第1会場 (3階メインホール)	第2会場 (2階多目的会議室201)	第3会場 (2階多目的会議室202)	第4会場 (2階多目的会議室203)	第5会場 (2階多目的会議室204)	第6会場 (2階特別会議室)
9:00~10:20	T1「アルミニウム合金のリサイクルと不純物低減・制御」1 座長 志鎌隆広 講演 1 ~ 3	接合1 座長 森貞好昭 講演 32 ~ 35	塑性加工 座長 徳永透子 講演 57 ~ 60	T4「サステナブル蓄電池電極用軽金属材料の開発Ⅱ」1 座長 附田之欣 講演 86 ~ 88	粉末冶金1 座長 久保田正広 講演 114 ~ 116	力学特性1 座長 宮嶋陽司 講演 145 ~ 148
休憩						
10:30~12:10	T1「アルミニウム合金のリサイクルと不純物低減・制御」2 座長 箕田 正 講演 4 ~ 8	軽金属奨学会特別奨学生セッション 座長 辻 伸泰 講演 36 ~ 37	T3「キンクの材料科学(Ⅱ)」1 座長 河村能人 講演 61 ~ 64	T4「サステナブル蓄電池電極用軽金属材料の開発Ⅱ」2 座長 日野 実 講演 89 ~ 93	粉末冶金2 座長 高田尚記 講演 117 ~ 121	力学特性2 座長 足立大樹 講演 149 ~ 153
昼食 / 女性会員の会 (ANAクラウンプラザホテル富山 3階 ASUKA I)						
13:10~14:10	ポスターセッション① ポスターNo.奇数の発表者が在席 (3階ホワイエ)					
14:15~15:15	ポスターセッション② ポスターNo.偶数の発表者が在席 (3階ホワイエ)					
休憩						
15:20~16:40	T1「アルミニウム合金のリサイクルと不純物低減・制御」3 座長 船塚達也 講演 9 ~ 12	企業招待講演「北陸支部の軽金属企業紹介」 富山で飛躍する「軽金属力」 ～北陸エリアの軽金属企業が語る、ものづくりの魅力と未来～ 座長 岩尾祥平	T3「キンクの材料科学(Ⅱ)」2 座長 阿部英司 講演 65 ~ 67	T4「サステナブル蓄電池電極用軽金属材料の開発Ⅱ」3 座長 千野靖正 講演 94 ~ 97	組織制御・観察1 座長 寺田大将 講演 122 ~ 125	表面処理 座長 館山慶太 講演 154 ~ 157
休憩						
16:50~17:50	男女共同参画セッション					
移動						
18:30~20:30	ANAクラウンプラザホテル富山 3階 鳳					

2026年5月17日(日)

	第1会場 (3階メインホール)	第2会場 (2階多目的会議室201)	第3会場 (2階多目的会議室202)	第4会場 (2階多目的会議室203)	第5会場 (2階多目的会議室204)	第6会場 (2階特別会議室)
9:00~10:20	T1「アルミニウム合金のリサイクルと不純物低減・制御」4 座長 岡澤俊彦 講演 13 ~ 16	接合2 座長 野村和史 講演 38 ~ 41	T3「キンクの材料科学(Ⅱ)」3 座長 萩原幸司 講演 68 ~ 70	T5「中高温域における軽金属材料の力学特性と加工技術」1 座長 吉村英徳 講演 98 ~ 100	T6「生体応用にに向けた軽金属材料の新展開」1 座長 池尾直子 講演 126 ~ 129	チタン 座長 上田正人 講演 158 ~ 161
休憩						
10:30~12:10	T1「アルミニウム合金のリサイクルと不純物低減・制御」5 座長 久保貴司 講演 17 ~ 21	T2「金属積層造形体およびセル構造体における不均一変形の力学」1 座長 北園幸一 講演 42 ~ 46	T3「キンクの材料科学(Ⅱ)」4 座長 眞山 剛 講演 71 ~ 75	T5「中高温域における軽金属材料の力学特性と加工技術」2 座長 伊藤 勉 講演 101 ~ 103	T6「生体応用にに向けた軽金属材料の新展開」2 座長 石本卓也 講演 130 ~ 134	時効析出1 座長 穴戸久郎 講演 162 ~ 166
昼食 / 若手の会 (ANAクラウンプラザホテル富山 19階 天空)						
13:10~14:50	T1「アルミニウム合金のリサイクルと不純物低減・制御」6 座長 加藤謙吾 講演 22 ~ 26	T2「金属積層造形体およびセル構造体における不均一変形の力学」2 座長 渡辺義見 講演 47 ~ 51	溶解・铸造1 座長 西田進一 講演 76 ~ 80	腐食・防食1 座長 西本宗矢 講演 104 ~ 108	T6「生体応用にに向けた軽金属材料の新展開」3 座長 上田恭介 講演 135 ~ 139	時効析出2 座長 池田賢一 講演 167 ~ 171
休憩						
15:00~17:00	マグネシウム 座長 中田大貴 講演 27 ~ 31	水素脆性 座長 堀川敬太郎 講演 52 ~ 56	溶解・铸造2 座長 神谷京佑 講演 81 ~ 85	腐食・防食2 座長 境 昌宏 講演 109 ~ 113	組織制御・観察2 座長 猿渡直洋 講演 140 ~ 144	時効析出3 座長 中川恵友 講演 172 ~ 176

第1会場 (3階メインホール)	第2会場 (2階多目的会議室201)	第3会場 (2階多目的会議室202)	第4会場 (2階多目的会議室203)	第5会場 (2階多目的会議室204)	第6会場 (2階特別会議室)
T1「アルミニウム合金のリサイクルと不純物低減・制御」1 座長 神戸製鋼 志鎌隆広	接合1 座長 大阪大 森貞好昭	塑性加工 座長 名古屋工大 徳永透子	T4「サステナブル蓄電池電極用軽金属材料の開発 II」1 座長 東北大 附田之欣	粉末冶金1 座長 日本大 久保正広	力学特性1 座長 金沢大 宮嶋陽司
1 【基調講演】軽金属学会のリサイクル関連3研究部会の紹介とその活動成果 ／ UACJ 箕田 正 神戸製鋼所 小森康平 富山大 加藤謙吾	32 アルミニウムろう材と窒化ケイ素基板間の濡れ性および反応性の評価 ／ 横浜国大(現 住友重工) 楠元 匠 橋兵国大 大瀧光弘・廣澤渉二	57 底面集合組織を有するマグネシウム合金押出材における(10-12)双晶の活動領域に関する研究開発動向 本大 (D1)長谷川修哉・眞山 剛 物材機構 柴川英俊	86 【基調講演】マグネシウム蓄電池の正極材料と電解質に関する研究開発動向 ／ 東北大 金研 市坪 哲	114 【軽金属功績受賞講演】レーザ精製造形技術が創出する新たな高機能アルミニウム合金 ／ 名古屋大 高田尚記	145 引張変形中におけるアルミニウム合金の加工硬化と転位密度変化に及ぼす結晶粒径の影響 ／ 兵庫県立大 足立大樹・(B4)足立昇大・(M2)井上敬仁
2 A6063合金チップ廃材の熱間押出しを用いた直接リサイクルでの押出温度が製品機械的特性に及ぼす影響 ／ 富山大 (M1)宮崎拓巳・白鳥智美・船塚達也・ノースウェスタン大 萱田邦明	33 A1050アルミニウム合金/無酸素銅におけるロボット摩擦接合した曲面突合せ接手の引張特性に及ぼす諸因子の影響 ／ 日本軽金属 山中宏介・鈴木健太	58 マグネシウム合金の押出速度に及ぼす集合組織の影響 ／ 三協立山 蟹谷 隆・松本 泰誠・小川正芳 長岡技術大 中田大貴	87 希薄Mg合金箔の創製と力学・機能特性に及ぼす添加元素の影響 ／ 物材機構 柴川英俊・本橋功会・黒田秀治・万代俊彦	115 レーザ粉末床溶融結合法により作製したAl-Fe系合金における放射線XRD測定 ／ 兵庫県立大 (M1)松下拓未・大谷祐貴 名古屋大 高田尚記 兵庫県立大 足立大樹	146 アルミニウムの引張変形中の加工硬化に及ぼす逆応力の影響とその結晶粒径依存性 ／ 千葉工大 寺田大樹・(M2)松田顕汰・(B4)芝越慧汰
3 6000系アルミニウム合金の熱間押出し加工での製品表面欠陥に及ぼすSi含有量の影響 ／ 富山大 (M1)大河内 颯人 UACJ 中川翔太・北脇高太郎・新里豊文・箕田 正 富山大 船塚達也・白鳥智美	34 A6061アルミニウム合金とニッケルめっき銅の電磁圧接における高速焼結衝撃挙動の解析 ／ 日本大 (B4)大久保由達・(B4)顕谷亮平・渡邊清洋 日本軽金属 鈴木健太 東京科学大 熊井真次	59 DI缶胴用3104アルミニウム合金硬質板のしごき成形性に及ぼす絞り・再絞り成形条件の影響 ／ 神戸製鋼所 村上祐志	88 軽金属Mg, Al, Tiのリチウム電池負極への適用 ／ SAITEC 栗原英紀 富山大 (M2)日比野匠朗・(M1)水野樹・会田哲夫 中越合金精工 田畑裕信 大阪工大 羽賀俊雄 富山県立大 鈴木真由美 東北大 金研市坪 哲・附田之欣	116 レーザ精製造形プロセス金属構造を用いた大面積浸漬冷却ブール沸騰特性の高性能化 ／ 名古屋大 周 邵云 清華大 王 昱婷 名古屋大 鈴木 飛鳥・小橋 真 あいち産業科学技術総合セ 梅田隼史 九州大学 井上智博・王 振英	147 A6082アルミニウム合金を基本としたCu組成アルミニウム合金の引張変形特性に及ぼす温度とひずみ速度の影響 ／ 防衛大 山田浩之 室蘭工大 立山耕平 防衛大 小笠原永久

9:00~
10:20

第1会場 (3階メインホール)	第2会場 (2階多目的会議室201)	第3会場 (2階多目的会議室202)	第4会場 (2階多目的会議室203)	第5会場 (2階多目的会議室204)	第6会場 (2階特別会議室)
T1「アルミニウム合金のリサイクルと不純物低減・制御」2 座長 UACJ 箕田 正	特別奨学生セッション 座長 京都大 辻 伸泰	T3「キンクノ材料科学 (II)」1 座長 熊本大 河村能人	T4「サステナブル蓄電池電極用軽金属材料の開発 II」2 座長 広島工大 日野 実	粉末冶金2 座長 名古屋大 高田尚記	力学特性2 座長 兵庫県立大 足立大樹
4 スクレーパ材を用いたAA6063合金における金属間化合物と機械的性質 / 富山大 (D1)イヅミエマ、アリカ、土屋大樹・李昇原・アブラル・アハマト・布村紀男・柴柳敏哉、池野進・松田健二	36 マグネシウム蓄電池の室温動作化に資するナ/酸化物正極設計 / 東北大 (D3)飯村均、松本 格 北海道大 小林弘明	61 【基調講演】キンク現象の物理：格子不安定性と構造科学の視点 / 東京大 阿部英司	89 単ロー式急冷凝固法によるアルミニウム合金薄帯とマグネシウム合金薄帯の作製 / 富山大 羽賀俊雄、(M1)木下和 富山大 (M2)原一希・会田哲夫 中越合金精工 田畑裕信 埼玉産技セ 栗原英紀 富山県立大 鈴木真由美 長岡技術科大 中田大貴 東北大金研 市坪 哲・附田之欣	117 【軽金属の精製】粉末冶金プロセスで創製した軽金属の特性 / 日本大 久保田正広	149 若キヤスト製品対応の大型砂型鑄物の合金として開発されたAl-5Si-0.5Mg-0.15Cu合金の力学特性と時効硬化挙動 / 千葉工大 寺田大智・(B4)重光巧翔・(B4)崎谷 拳・(B4)間宮悠介 コウイ 橋 洋志・小岩井修二・安達 充
5 Al-Mg-Si合金における析出挙動へのFeの添加と時効温度の影響 / 富山大 (D1)イヅミエマ、アリカ、土屋大樹・李昇原・アブラル・アハマト・布村紀男・柴柳敏哉、池野進・松田健二	37 アルミニウム基相変化マイクログラフの開発とその過冷却現象の調査 / 北海道大 (D3)清水友斗・棚橋颯太・ジェームズ・バート・能村貴宏	62 すべり変形されたキンク組織で発生する連続変形の幾何学的解析 / 東京科学大 松村隆太郎・(M2)嶺崎 輝・稲色朋也	90 単ロー式急冷凝固法による純アルミニウムとマグネシウム合金からなるクラッド薄帯の作製 / 大阪工大 (M1)本上 希・羽賀俊雄 富山大 (M2)原一希・会田哲夫 中越合金精工 田畑裕信 埼玉産技セ 栗原英紀 富山県立大 鈴木真由美 長岡技術科大 中田大貴 東北大金研 市坪 哲・附田之欣	118 粉末冶金法により作製したMg-Al(-Ti)系合金の特性 / 日本大 (B4)羽賀 安孝・久保田正広	150 巨大ひずみ加工で作製された超微細結晶粒純Alの微細組織・力学特性・導電性の経年変化 / 金沢大 (M1)浅野陽介・國峯崇裕・宮嶋陽司 京都大 辻 伸泰
6 微量なFe及びCu添加によるAl-Mg-Si合金の機械的性質やマイクロ組織への影響 / 富山大 (M1)鈴木勇希・土屋大樹・李昇原・アハマト・アブラル・布村紀男・柴柳敏哉、池野進・松田健二	37 アルミニウム基相変化マイクログラフの開発とその過冷却現象の調査 / 北海道大 (D3)清水友斗・棚橋颯太・ジェームズ・バート・能村貴宏	63 バイモータルMg-Al-Y合金におけるキンク変形組織の特徴 / 東京大 江草大佑・Han Chen・(D3)伊東祐斗 熊本大 山崎倫昭 東京大 阿部英司	91 サステナブルなマグネシウム蓄電池用Mg-Al-Ca系合金薄帯の電気化学特性 / 東北大金研 附田之欣・市坪 哲 富山大 (M1)松本泰知・会田哲夫 埼玉産技セ 栗原英紀 中越合金精工 田畑裕信 富山県立大 鈴木真由美 大阪工大 羽賀俊雄 長岡技術科大 中田大貴	119 粉末冶金プロセスを用いたMg-耐ハイクロロドール合金の作製と特性 / 日本大 (B4)高野聖太・久保田正広	151 高圧スラスト加工により結晶微細化されたA6061アルミニウム合金板の超高速貫通挙動 / 防衛大 西田政弘・(B4)永吉正明 長野精工 瀬沢陽一・湯本 学 九州工大 堀田善治
7 Fe, Mnを添加したAl-Mg-Si合金の機械的性質とマイクロ組織観察 / 富山大 李昇原・(M2)中川雄斗・土屋大樹・アブラル・アハマト・布村紀男・柴柳敏哉・池野進・松田健二	63 バイモータルMg-Al-Y合金におけるキンク変形組織の特徴 / 東京大 江草大佑・Han Chen・(D3)伊東祐斗 熊本大 山崎倫昭 東京大 阿部英司	64 Deformation behavior in kink-strengthened bimodal Mg-Al-Y alloy / 東京大 (D1)Lei Zhexuan・Chen Han・江草大佑 熊本大 眞山 剛 上海交通大 Chen Zhe 東京大 阿部英司	92 マグネシウム蓄電池用Mg-Al-Ca-Si系合金薄帯の電気化学特性に及ぼす溶解温度の影響 / 富山大 (M1)松本泰知・会田哲夫 中越合金精工 田畑裕信 長岡技術科大 中田大貴 富山県立大 鈴木真由美 大阪工大 羽賀俊雄 埼玉産技セ 栗原英紀 東北大金研 市坪 哲・附田之欣	120 バイモータル組織制御が及ぼすAl-Y ₂ O ₃ 分散強化合金の強度延性特性への効果 / 愛媛大 阪本辰嗣・(M2)山崎 太一 新居浜高専 志賀信哉	152 析出強化型アルミニウム合金における結晶塑性有限要素法とX線回折による方位密度評価 / 東京科学大 段野下 直志・村石信二
8 Al-Mg合金の粗粒塑性に関与するNa不純物の制御 / 大阪大 堀川敬太郎	64 Deformation behavior in kink-strengthened bimodal Mg-Al-Y alloy / 東京大 (D1)Lei Zhexuan・Chen Han・江草大佑 熊本大 眞山 剛 上海交通大 Chen Zhe 東京大 阿部英司	93 圧延加工および合金元素添加による単ロー式急冷凝固Mg-9%Al-3%Ca合金薄帯の組織制御と電気化学特性の改善 / 長岡技術科大 中田大貴 富山大 (M1)松本泰知・会田哲夫 埼玉産技セ 栗原英紀 中越合金精工 田畑裕信 大阪工大 羽賀俊雄 富山県立大 鈴木真由美 東北大金研 市坪 哲・附田之欣	121 金属積層造形特有のナノ組織を有するTiAl合金の高温安定性 / 大阪大 趙 研・(M1)羊島崇仁 東京科学大 竹山雅夫 大阪大 中野貴由・安田弘行	153 微量のCuを添加したAl-Mn-Mg系合金板の強度に及ぼす熱間圧延温度の影響 / 神戸製鋼所 中安広樹・田淵佳明	

<p>第1会場 (3階メインホール)</p>	<p>第2会場 (2階多目的会議室201)</p>	<p>第3会場 (2階多目的会議室202)</p>	<p>第4会場 (2階多目的会議室203)</p>	<p>第5会場 (2階多目的会議室204)</p>	<p>第6会場 (2階特別会議室)</p>
<p>T1「アルミニウム合金のリサイクルと不純物低減・制御」J3 座長 富山大 船塚達也</p>	<p>企業招待講演 「北陸支部の軽金属企業紹介」 座長 MAアルミ 岩尾祥平</p>	<p>T3「キソク」の材料科学 (II) J2 座長 東京大 阿部英司</p>	<p>T4「サステナブル蓄電池電極用軽金属材料の開発 II」J3 座長 産総研 千野靖正</p>	<p>組織制御・観察1 座長 千葉工大 寺田大将</p>	<p>表面処理 座長 神戸製鋼 館山慶太</p>
<p>9 押出用6063アルミニウム合金の基礎特性に及ぼす不純物元素の影響 / UACJ 箕田 正・中川翔太 YKK AP 森田祥一・梶川浩司 LIXIL 田中直也・安部和政</p>	<p>富山で融れる「軽金属力」～北陸エリアの軽金属企業が語る、ものづくりの魅力と未来～ 「アイシン軽金属株式会社の紹介」(仮題) アイシン軽金属株式会社 吉田 朋夫 氏 「三協立山株式会社の紹介」(仮題) 三協立山株式会社 土肥 正芳 氏 「富山住友電工株式会社の紹介」 富山住友電工株式会社</p>	<p>65 【基調講演】材料と形状の異方性に起因するキング変形の結晶塑性解析 / 熊本大 眞山 剛 名古屋工大 萩原幸司 94 Mg-Al-Ca-Si合金薄帯層と溶湯Al同時クワッド薄帯への塩化鉄水溶液浸漬による酸化鉄被膜形成と電気化学特性 / 富山大 (B4)橋元駿輔・技セ 栗原英紀 中越合金精工 田畑裕信 大阪工大 羽賀俊雄 富山県立大 鈴木真由美 長岡技術科大 中田大貴 東北大金研 市坪 哲・附田之欣</p>	<p>94 Mg-Al-Ca-Si合金薄帯層と溶湯Al同時クワッド薄帯への塩化鉄水溶液浸漬による酸化鉄被膜形成と電気化学特性 / 富山大 (B4)橋元駿輔・技セ 栗原英紀 中越合金精工 田畑裕信 大阪工大 羽賀俊雄 富山県立大 鈴木真由美 長岡技術科大 中田大貴 東北大金研 市坪 哲・附田之欣</p>	<p>122 強冷間圧延したAl-Fe合金箔の再結晶挙動に及ぼす中間純度の影響 / MAアルミニウム 安丘 透・鈴木真史</p>	<p>154 超撥水表面処理を施したアルミニウム基材の滑水性能耐久評価 / 日本軽金属 包 立</p>
<p>10 6063アルミニウム合金押出材の表面処理および耐食性に及ぼす不純物元素の影響 / YKK AP 森田祥一・梶川浩司 UACJ 中川翔太・箕田 正 LIXIL 田中直也・安部和政</p>	<p>「株式会社UACJ福井製造所の紹介」 株式会社UACJ 工藤 智行 氏 「YKK APが進めるアルミ資源循環に向けた取組」 YKK AP株式会社 荒城 昌弘 氏 (各社質疑応答講演時間15分)</p>	<p>66 Mg-Zn-Y合金鑄造材の格子ひずみ発生に基づく塑性/ラメータ同定と不均一変形解析 / 熊本大(M2) 田中大地・眞山 剛・高山隼太郎 熊本大 MRC 山崎倫昭・河村能人 JAEA 諸岡 聡・Wu Gong・Stefanus Herjo 名古屋工大 萩原幸司・徳永透子</p>	<p>95 マグネシウム蓄電池用Mg-Al-Ca系合金負極薄帯のミクロ組織 / 富山県立大 鈴木真由美・(M1)森力 峻 富山大 (M2)村西浩基・(M1)松本泰知・(B4)橋元駿輔・会田哲夫 中越合金精工 田畑裕信 大阪工大 羽賀俊雄 長岡技術科大 中田大貴 埼玉産技セ 栗原英紀 東北大金研 市坪 哲・附田之欣</p>	<p>123 ECAP加工とその後の短時間加熱が6061アルミニウム合金のミクロ組織に及ぼす影響 / 山梨大 (M1)佐々木 秀・中山栄浩・猿渡直洋 丸真軟処理工業 関谷英治</p>	<p>155 無電解Ni-Pめっきが7075アルミニウム合金の疲労強度に及ぼす影響 / 広島工大 日野 圭・(M2)浅田歩夢・(M1)小田原圭汰 上村工業 黒坂成吾・大久保洋樹・田坂隆貴 大阪大 堀川敏太郎</p>
<p>11 押出用6005Cアルミニウム合金の基礎特性に及ぼす不純物元素の影響 / 神戸製鋼所 志鏑隆広・荒田昌宏 日本軽金属 土屋清美・藤田剛志 UACJ 中川翔太・箕田 正</p>	<p>67 LPSO型Mg-Y-Zn合金押出材のマルチモーダル組織構成領域の力学特性 / 熊本大MRC 西本宗彦 熊本大 (B4)水口清太郎 九州産業大 郭光植 熊本大 峯 洋二 名古屋工大 萩原幸司 熊本大 MRC 山崎倫昭</p>	<p>96 リチウム蓄電池用Al-0.5mass%Si負極薄帯の電気化学特性に及ぼすMn量の影響 / 富山大 (M1)水野 樹・(M2)日比野匠朗・会田哲夫・土屋大樹・松田健二 埼玉産技セ 栗原英紀 中越合金精工 田畑裕信 大阪工大 羽賀俊雄 東北大金研 中田健樹・市坪 哲・附田之欣</p>	<p>124 デジタル画像相関(DIC)法を用いたMgおよびMg-1.3Y合金の局所変形挙動および巨視的力学特性の解析 / 京都大 朴 明暉・Binxuan Sun・ハ子 早保・辻 伸泰</p>	<p>125 強い底面集合組織を有する工業用純チタンにおける変形双晶形成と変形挙動の引張方向依存性 / 金沢大 (M1)石岡 陸・渡邊千尋・古賀紀光 豊橋技術科大 三浦博己</p>	<p>156 溶質濃度の異なる高純度Al-Cu, Al-MgおよびAl-Zn合金上形成したAl(OH)皮膜の成長挙動 / 芝浦工大 (D3)栗原健輔・芹澤 愛</p>
<p>12 6005Cアルミニウム合金押出材の表面処理および耐食性に及ぼす不純物元素の影響 / 日本軽金属 畠沢良之・武田千広・土屋清美・藤田剛志 UACJ 箕田 正・中川翔太 神戸製鋼所 志鏑隆広・荒田昌宏</p>	<p>97 単ロール式急冷凝固法によるリチウム蓄電池用リサイクルアルミニウム合金薄帯の作製と電気化学特性評価 / 富山大 (M1)清水悠広・会田哲夫 埼玉産技セ 栗原英紀 中越合金精工 田畑裕信 大阪工大 羽賀俊雄 富山大 土屋大樹・松田健二 東北大金研 市坪 哲・附田之欣</p>	<p>97 単ロール式急冷凝固法によるリチウム蓄電池用リサイクルアルミニウム合金薄帯の作製と電気化学特性評価 / 富山大 (M1)清水悠広・会田哲夫 埼玉産技セ 栗原英紀 中越合金精工 田畑裕信 大阪工大 羽賀俊雄 富山大 土屋大樹・松田健二 東北大金研 市坪 哲・附田之欣</p>	<p>125 強い底面集合組織を有する工業用純チタンにおける変形双晶形成と変形挙動の引張方向依存性 / 金沢大 (M1)石岡 陸・渡邊千尋・古賀紀光 豊橋技術科大 三浦博己</p>	<p>157 Al-Mg-Si合金の7-α酸化皮膜の成長に及ぼす結晶方位の影響 / UACJ 竹村沙友理・新野 拓・中島大 希・成田 涉</p>	<p>157 Al-Mg-Si合金の7-α酸化皮膜の成長に及ぼす結晶方位の影響 / UACJ 竹村沙友理・新野 拓・中島大 希・成田 涉</p>

第1会場 (3階メインホール)	第2会場 (2階多目的会議室201)	第3会場 (2階多目的会議室202)	第4会場 (2階多目的会議室203)	第5会場 (2階多目的会議室204)	第6会場 (2階特別会議室)
T1「アルミニウム合金のリサイクルと不純物低減・制御」4 座長 アート金属 岡澤俊彦	接合2 座長 大阪大 野村和史	T3「キソク」の材料科学 (II) J3 座長 名古屋工大 秋原幸司	T5「中高温度域における軽金属材料の力学特性と加工技術」1 座長 香川大 吉村英徳	T6「生体応用に向けた軽金属材料の新展開」1 座長：神戸大 池尾直子	チタン 座長 関西大 上正正人
13 アルミニウム建材スクラップのリサイクルにおけるアルミ皮膜の影響 / YKK AP 山名盛彦・小田吉吾 東北大 平木岳人	38 円盤摩擦接合によるAl1070アルミニウム/TP340チタン異材継手界面組織の形成機構と欠陥抑制指針 / 富山大 柴柳敏哉 (M2) 山崎未希	68 【基調講演】MF構造とLPSO構造のキソク強化 / 熊本大MRC 河村能人	98 異径異周速圧延による工業用純アルミニウム板材の強せん断の影響 / 香川高専 (B) 藤田大悟 香川大 吉村英徳 香川高専 高橋洋一 富山県立大 伊藤 勉 岡山大 上森 武	126 介在物フリー超高純度マグネシウム板材の溶解性に及ぼす亜鉛の影響 / 東北大 上田恭介・(M2) 佐々木和真 長岡技術大 中田大貴 東北大 安藤大輔 鳥根大 菅原 優 東北大 成島尚之	158 チタンにおけるバンド構造を用いた変形双晶の形成能評価 / ISAS/JAXA 松永近世・佐藤英一
14 珪砂を添加したAl合金溶湯からの不純物元素除去 / アイシン 北村智之	39 電磁圧接におけるアルミニウム合金とニッケルめっき鋼板の界面組織形成 / 千葉大 (B4) 奥塚友理・山形遼介 島根大 千星 聡 都立産技高専 石橋正基・岡川啓悟 千葉大 糸井貴臣	99 温間二軸引張試験によるアルミニウム合金板の二軸変形特性評価 / 中部大 濱崎 洋	127 低濃度Mg-Zn合金の引張特性・耐食性および微細組織に及ぼす圧延条件の影響 / 長岡技術大 西島康生・中田大貴	159 結晶粒径の異なる工業用純チタンの高速度変形と破壊挙動 / 金沢大 (M1) 中西 叶・渡邊千尋・古賀紀光 豊橋技術大 足立 望・戸高義一・三浦博己	
15 磁力影響下でのアルミニウム合金凝固過程におけるFeの偏析挙動 / 岡山大 (D2) 竹内修平・阿安光博	40 純アルミニウムを可動極に用いた電磁圧接板の衝突変形解析と界面組織観察 / 千葉大 (B4) 谷口海士・(M1) 林亮弥・山形遼介 都立産技高専 石橋正基・岡川啓悟 千葉大 糸井貴臣	69 ひずみ時効を用いたMF型Mg-Zn-Y-Zr合金の機械的性質の改善 / 熊本大MRC 井上晋二 熊本大 (M2) 佐田一海 熊本大MRC 河村能人	128 中性塩化物水溶液中における高純度MgおよびMg-Zn合金の耐食性の検討 / 鳥根大 (B3) 小林冬空・菅原 優 長岡技術大 中田大貴 東北大 安藤大輔・上田恭介	160 酸素濃度の異なる工業用純チタン板の曲げ変形挙動 / 熊本大MRC 安藤新二 熊本大 (M2) 野尻幹太 熊本大MRC 北原弘基	
16 Al-Si系合金の一方凝固速度が凝固組織並びにSiおよびCuの凝固偏析に及ぼす影響 / エスアルミ 木村友哉・和田健司 富山大 加藤謙吾・小野英樹	41 純アルミニウム板を使用した電磁圧接における放電エネルギー変化が衝突変形形状に及ぼす影響 / 千葉大 (M1) 林 亮弥・(B4) 谷口海士・山形遼介 都立産技高専 石橋正基・岡川啓悟 千葉大 中田敏是・糸井貴臣	70 微分幾何学による駆位と点欠陥の統計的モデリングと解析 / 大阪大 (M1) 小林 穂・小林靖典・垂水竜一	129 Mg-Sc合金の人工海水水中での応力腐食割れ耐性 / 東北大 安藤大輔・須藤佑司	161 TiAl-Ti ₃ Al(N,C)複合材料の微細組織と機械的性質に及ぼす熱処理の影響 / 熊本大 (M1) 村上明陽 熊本大学MRC 白石貴久・木口賢紀	

9:00~
10:20

第1会場 (3階メインホール)	第2会場 (2階多目的会議室201)	第3会場 (2階多目的会議室202)	第4会場 (2階多目的会議室203)	第5会場 (2階多目的会議室204)	第6会場 (2階特別会議室)
T1「アルミニウム合金のリサイクルと不純物低減・制御」5 座長 UACJ 久保貴司	T2「金属積層造形体およびセル構造体における不均一変形の力学」1 座長 東京都立大 北園幸一	T3「キンクの材料科学 (II)」4 座長 熊本大 眞山 剛	T5「中高温度域における軽金属材料の力学特性と加工技術」2 座長 富山県立大 伊藤 勉	T6「生体応用に向けた軽金属材料の新展開」2 座長 富山県立大 石本卓也	時効析出1 座長 神戸製鋼 穴戸久郎
17 抽出・相分離による積層用アルミニウム合金からのケイ素の除去 / 富山県立大 加藤謙吾・根谷定範・小野英樹	42 アルミニウムおよびチタン合金積層造形体の力学物性調査のためのヘテロ相界面の形成および機械的挙動の解析 / 名古屋工業大 渡辺義見 都立産技研 大久保智 東京都立大 北園幸一 名古屋工業大 西田政弘	71 合金組成制御によるTi基高強度ミルナー合金の力学特性制御 / 名古屋工業大 萩原幸司・徳永透子	101 高温引張試験によるアルミニウム合金板材の変形抵抗評価 / 香川大 吉村英徳 富山県立大 伊藤 勉 岡山県立大 上森 武 香川高専 高橋洋一	130 生体環境におけるマグネシウムの機械的挙動に対する亜鉛またはカルシウム添加の影響 / 神戸大 (M2)中村宗吾・(M1)石井 景・池尾直子・西井敏司	162 予加工を施したAl-Mg-Si-Cu合金における析出挙動と強化機構 / 富山県立大 (D2)巧田功太郎・アブラハムト・李昇原・土屋大樹 YKK 勝見徹也・喜多和彦 富山県立大 松田健二
18 Sn溶を利用した抽出・相分離によるADC12アルミニウム合金からの不純物分離 / 三協立山 岩瀬 聡 富山県立大 加藤謙吾・小野英樹	43 A6061アルミニウム合金ラミネート構造におけるTiCヘテロ相界面の形成および機械的挙動の解析 / 名古屋工業大 都立産技研 大久保智 東京都立大 (M2)南里真平・渡辺義見 東京都立大 北園幸一	72 機械学習を用いたhcp-Znにおけるキンク・双晶変形の原子スケールモデリング / 東京大 (D2)伊東祐斗・江草大祐 JAEA 山口正剛 東京大 阿部英司	102 高温単純せん断試験に基づくアルミニウム合金板材の変形抵抗評価 / 香川大 吉村英徳 富山県立大 伊藤 勉 香川高専 高橋洋一 岡山県立大 上森 武	131 空温ロールを用いた圧延加工によるMg-Zn-Ca合金圧延材の引張特性および成形性の同時改善 / 長岡技術科大 中田大貴・(M2)仲江勇登	163 Al-Mg-Si合金粗大結晶の粒界近傍における析出挙動と局所力学特性 / 北海道大 (D1)白紙悠之・(B4)竹内脩斗・池田賢一・三浦誠司
19 金属間化合物除去法によるAl-Si系合金溶湯中のFe減少挙動に及ぼすSi量の影響 / エスエアルミ 小林善崇・鈴木悠太・和田健司	44 Al-10Si-0.4Mg合金DED積層造形体の組織および機械的挙動に及ぼすヘテロ相界面の形成効果 / 名古屋工業大 (M1)飯嶋美空・(M1)内藤大樹・山田素子・成田麻未・佐藤 尚・西田政弘・渡辺義見 滋賀工技総セン 奔 啓人	73 第一原理計算によるMg-Co-Y系LPSO相の3d遷移金属添加効果と安定化機構 / 熊本大 園谷貴去・山崎倫昭 千真大 糸井貴臣	103 高温単純せん断試験に基づくアルミニウム合金の変形抵抗評価 / 香川高専 (B)谷本 光 香川大 吉村英徳 香川高専 高橋洋一 富山県立大 伊藤 勉 岡山県立大 上森 武	132 生体応用を目指したMg-9Al-1Zn-xCa合金の5swaging加工による機械的挙動の改善 / 東北大 (M2)武石直太・安藤大輔・須藤祐司	164 製造したAl-7%Si-0.3%Mg合金における時効処理中の電気抵抗率の変化 / 富山県立大 (B4)松尾綾一郎・(M1)阿部元樹・土屋大樹・李 昇原・並木孝洋・西村克彦・池野 進・松田健二
20 Mg,Siの抽出による溶融Al-Mg-Zn合金からのSi除去 / 富山県立大 (B4)小島珠瑩・加藤謙吾・小野英樹	45 指向性エネルギー堆積法により造形したTi-6Al-4V材の超高速衝突現象の圧延材との比較 / 防衛大 西田政弘 名古屋工業大 渡辺義見・佐藤達彦	74 情報幾何学に基づく高分子材料の内部構造予測と力学的应用 / 大阪大 重水重二	133 過剰Si型Al-Mg-Si-Cu系合金に対する微細組織観察と機械的挙動 / 富山県立大 (B4)岩佐 航・(M1)鈴木勇希 斗・土屋大樹・李 昇原・アブラハムト・池野 進・松田健二	134 生体用α+β型Ti-4.5Al-6Nb-2Fe-2Mo合金の微細組織に及ぼす酸素の影響 / 東北大 (M1)葦木大輔・上田恭介・成島尚之	165 亜鉛拡散層を有するAl-1.0%Mg合金の時効硬化挙動 / UACJ 兒玉 涼・東森 稜・鈴木太一・深田紗代
21 Al-Cu合金の半凝固圧下による溶質濃度分布制御 / 名古屋工業大 高瀬有登	46 力学特性の局所制御に向けたTi-Al-V-Fe合金-L-PBF造形体における組織・特性評価 / 名古屋工業大 (M1)谷口 美友・出口 岬・鈴木飛鳥 大阪大 刈屋翔太・近藤勝義 名古屋工業大 小橋 真	75 熱延伸により高強度化されたポリプロピレンの微細構造 / 東京大 (D2)遠藤 守雄・江島大祐 東京農工大 齋藤 拓 東京大 阿部英司	134 生体用α+β型Ti-4.5Al-6Nb-2Fe-2Mo合金の微細組織に及ぼす酸素の影響 / 東北大 (M1)葦木大輔・上田恭介・成島尚之	166 A Quantitative Approach to Minimize Errors for cluster analysis using Atom Probe Tomography in Al-Mg-Si-(Cu-Sn) Alloys / KITECH, Univ. of Sci. & Tech. (D1)MIYOUNG Lee. (D3)JiWook Park KITECH Min-Su Kim JiWoo Park-Junghyun Lee Northwestern Univ. Dieter Isheim David N. Seidman KITECH, UST, KIST Jaehwang Kim	166 A Quantitative Approach to Minimize Errors for cluster analysis using Atom Probe Tomography in Al-Mg-Si-(Cu-Sn) Alloys / KITECH, Univ. of Sci. & Tech. (D1)MIYOUNG Lee. (D3)JiWook Park KITECH Min-Su Kim JiWoo Park-Junghyun Lee Northwestern Univ. Dieter Isheim David N. Seidman KITECH, UST, KIST Jaehwang Kim

第1会場 (3階メインホール)	第2会場 (2階多目的会議室201)	第3会場 (2階多目的会議室202)	第4会場 (2階多目的会議室203)	第5会場 (2階多目的会議室204)	第6会場 (2階特別会議室)
T1「アルミニウム合金のリサイクルと不純物低減・制御」6 座長 富山大 加藤謙吾	T2「金属積層造形体およびセル構造体における不均一変形の力学」2 座長：名古屋工大 渡辺義見	溶解・鋳造1 座長 群馬大 西田進一	腐食・防食1 座長 熊本大 西本宗夫	T6「生体応用に向けた軽金属材料の新展開」3 座長：東北大 上田恭介	時効析出2 座長 北海道大 池田賢一
22 Al-Si-Mg-Cu 鋳造合金の機械的特性および疲労特性に対するFe添加量の影響 / 豊田自動車繊維 鈴木 野・川原 博・岡崎崇央・山本直樹・樋口 毅・鈴木智博 岐阜大 植松美彦	47 PBF法で作製したAlSi10Mg合金の引張特性に関する統計的評価 / 総研大(D1)・ニコン 川嶋辰典 宇宙研 松永哲也・松宮 久・佐藤英一 富山県立大 伊藤 勉 ニコン 高橋祐采・武政千晶・杉崎 敬・佐藤智哉・加藤 峻介・野崎 潔	76 理論計算によるアルミニウムADC鋳造ライオンにおける降下粉塵の挙動調査 / UACJ 谷山友理 四宮悠成・榎村真吾	104 Al-Mn系合金のCu濃度が及ぼす第二相粒子のサイズ・形状・分布への影響 / UACJ 佐野拓馬・鈴木太一	135 石英が使用したSPSによるTi-Mo二元合金の作製 / 神戸大 池田直子・(B4)林 健 福井工業大 井藤 幹夫	167 ARB加工によるひずり量変化が超微細粒Al-0.8%Si-0.8%Ge合金の時効挙動に及ぼす影響 / 岡山理科大学 中川憲友・(M2)佐藤星太 京都大 辻 伸泰・朴 明彦・金谷輝人
23 6063相当リサイクルアルミニウム合金の摩擦溶接アット接合における接合性の検討 / 富山大 (B4)佐戸隆介・(M2)下出健介・柴柳敏哉・船塚達也・小野英樹・松田健二・白鳥智美	48 Compressive behavior of additively manufactured Al-Mg-Sc alloy lattice structures / Tokyo Metropolitan Univ. (D2)R.Zhao・K.Kitazono	77 数値解析によるアルミニウムADC鋳造ライオンにおける降下粉塵の挙動調査 / UACJ 四宮悠成・榎村真吾・谷山友理	105 食塩水中における1050アルミニウムの腐食および水素発生挙動 / 室蘭工大 堀 昌宏・(M2)高橋健太	136 レーザ積層造形法による生体用Ti-Ag-O合金の作製 / 東北大 董 明琪・(M1)バネ子イクト ショア・・周 楷偉・野村直之	168 A7150アルミニウム合金における等温時効初期過程での微細組織形成 / 名古屋工大 成田麻未・齊藤元貴 あいしんクロムロン光セ 岡島敏浩 名古屋大 武藤俊介 東京大 阿部英司 大同大 高田 健
24 意図しない元素の混入・蓄積を考慮したアルミニウムスクリップ中の合金元素濃度の推計 / 東京大 (M1)菊田勇二・武山健太郎・星野岳穂	49 積層造形Al-10%Si-0.4%Mg合金ジャロイト構造体への超音速衝突破壊挙動に及ぼすセルサイズの影響 / 防衛大 西田政弘 名古屋工大 山田 素子・渡辺義見	78 アルミニウムADC鋳造ラインにおける降下粉塵の溶湯侵入対策 / UACJ 榎村真吾・谷山友理・四宮悠成	106 Al-Mg合金のミクロ組織と腐食初期過程に及ぼすSn添加の影響解析 / 東京科学大 小嶋 匠・多田英司	137 純金属粉末とレーザ積層造形法を用いたTi-20at.Nb合金のin-situ合金化と組織形成 / 新居浜高専 重代光彦 兵庫県立大 永瀬丈嗣 大阪大 中野貴由	169 Al-Mg-Si合金における等温時効初期過程での微細組織形成 / 大同大 (M1)田中是るか・(B4)阿本丈輝・高田 健 名古屋大 齊藤元貴・武藤俊介 あいしんSR 岡島敏浩 名古屋工大 成田麻未 東京大 阿部英司
25 スクリップローテーションシステムの導入によるアルミニウム産業の温室効果ガス排出量に与える影響の評価 / 東京大 武山健太郎・(M1)菊田勇二・星野岳穂	50 VAE-NNを用いたセル構造体の特性予測とスケールアップ設計への応用 / 名古屋大 (M1)養 幹太・鈴木飛鳥・小橋 真	79 アルミニウム溶解炉を対象とした数値シミュレーションモデルの構築と検証 / UACJ 神谷京佑 IDAJ 鈴木 朗・野崎文也 UACJ 四宮悠成	107 AC4Bアルミニウム合金の酸化皮膜形成に及ぼすSn添加の影響 / 群馬高専 (B)高橋純大・高山雄介・山内 啓	138 高融点元素を高濃度含有する生体用Ti合金の偏析と弾性率との関係 / 東京科学大 伊井正昭 近畿大(現東本職工所) 大田尚輝 近畿大 植木光輔	170 Zn/Mg 比の異なるAl-Zn-Mg合金における析出挙動の微細組織観察 / 富山大 (D1)SANPHIBOON WANLALAK・土屋大樹・李 昇原 富山大先進アルミニウム国際研究センター ABRAR AHMED 富山大 池野 進・松田健二 アイシン軽金属 柴田 果林・松井宏昭・吉田朋夫
26 アルミニウム材料のスクラップの発生と消費を考慮したライフサイクルインベントリ分析手法 / UACJ 鈴木太一 大 醍醐市朗	51 破断部に発泡剤を局在化させた6000系アルミニウム合金易解体リベットの作製 / 群馬大 (M1)須永求夏・半谷垣 彦・岩崎 篤 大阪大接合研 森貞 好昭・藤井英俊	80 数値解析によるアルミニウム溶解炉乾燥方法の最適化 / UACJ 谷山友理 石川宣仁	108 Mg-Y-Zn希薄合金へのAlの微量添加による耐食性改善 / 熊本大 (M2) 石瀬広登・西本宗夫・山崎倫昭	139 濃度変動を利用したチタン合金のヘテロ組織形成と強度-延性バランス制御 / 富山大 石本卓也・(M2)吉田理央・真中智世	171 Al-Zn-Mg合金(Zn/Mg=1)の423K時効処理における時効硬化挙動とミクロ組織観察 / 富山大 (M2)窪崎 大・(D1)SANPHIBOON WANLALAK・土屋大樹・李 昇原・ABRAR AHMED・池野 進・松田健二 アイシン軽金属 柴田果林・松井 宏昭・吉田朋夫

第1会場 (3階メインホール)	第2会場 (2階多目的会議室201)	第3会場 (2階多目的会議室202)	第4会場 (2階多目的会議室203)	第5会場 (2階多目的会議室204)	第6会場 (2階特別会議室)
マグネシウム 座長 長岡技科大 中田大貴	水素脆性 座長 大阪大 堀川敬太郎	溶解・鋳造2 座長 UACJ 神谷京佑	腐食・防食2 座長 至蘭工大 境 昌宏	組織制御・観察2 座長 山梨大 猿渡直洋	時効析出3 座長 岡山理科大 中川恵友
27 【軽金属功績賞受賞講演】マルチモード ル組織設計によるマグネシウム合金の強 度と延性の同時改善 / 熊本大 山 崎倫昭	52 Al-Zn-Mg合金における溶体化処理後 の冷却速度が水素脆化特性に及ぼす 影響 / 鳥取大 (M1) 堀岡友也, 清 水一 行, 松野 崇 SP8 上栞真之・ 竹内晃久・佐田侑樹	81 溶融Al-Si合金の側方凝固組織に及ぼ す二重拡散対流の影響 / 富山大 山根岳彦・(M2) 下出健介・(B4) 眞口 季己・(B4) 崎崎汰星・柴柳敏哉	109 大気中でのチタンおよびTi-6Al-4V合金 の高温酸化の速度論的考察 / 新居 浜高専名誉教授 益橋直回	140 機械学習を用いた高導電アルミニウム合 金の設計 / 東北大 黄 豊 賢 矢 崎総業 杉山善崇・藤崎小太郎・澤田 将哉 東北大 安藤大輔・須藤祐司	172 画像解析によるAA6022アルミニウム合 金STEM像の構造特徴抽出 / UACJ/東京大(D1) 江目祐祐 UACJ 中西英貴 東京大 江草大 佑・阿部英司
28 混合エンタルピーに基づく高熱伝導・高 強度・高延性Mg-Zn-Ca合金の開発 / 熊本大 (D2) 王 運生 熊本大 学MRC 井上晋一・河村能人	53 Zn・Mg量が異なるTi相析出型Al-Zn- Mg合金の水素脆性解析 / 鳥取大 (M1) 志岐魁斗・清水一 行・松野 崇 九州大 戸田裕之・藤原比呂 SP8 上栞真之・竹内晃久・佐田侑樹	82 亜共晶Al-Si合金鑄造材への熱処理に 伴う共晶Si粒子の形態変化 / 名古屋 工大 (M1) 寺島礼示・佐藤 尚・成 田麻未・渡辺義見	110 Mg-In-Ga合金の加水分解反応に伴う 相変化 / 千葉大 (M1) 廣澤朝陽・ (D2) 永田涼太 千葉大(現 日立製 作所) 村上隆太 鳥根大 千星 聡 千葉大 山形遼介・糸井貴臣	141 機械学習を用いたアルミニウム圧延材の 外観検査における画像分類技術の活用 / MAアルミニウム 中村慎一郎	173 Ageing Precipitation Behavior in Al-Zn-Mg Alloys with low Cu content / Univ. of Tokyo (M2) Yumna Innab・Han Chen・ Daisuke Egusa・Eiji Abe
29 高熱伝導マグネシウム合金の分類と材 料設計指針 / 熊本大MRC 河村 能人 熊本大 (D2) 王 運生・(M2) 河野圭佑 熊本大MRC 井上晋一	54 超高温強化したAl-Zn-Mg合金の環境 助長破壊のナノメータ解析 / 九 州大 (M2) 竹田昌輝・藤原比呂・戸 田裕之 豊橋技科大 戸高義一・足 立 望・石井裕樹	83 突起ロールを装備した縦型高速ダブル キヤスターによるアルミニウム合金板の表 面状態の改善 / 大阪工大 (M2) 小垂穂弥 神戸製鋼所 正田良治 大阪工大 羽賀俊雄	111 ステップ焼入れした高強度7000系アル ミニウム合金押出材の応力腐食割れ性 に及ぼす析出物の影響 / アイシ ン軽金属 吉田朋夫・濱高祐樹・松井 宏昭 富山大 李 昇原・土屋大樹・ 村上 哲・松田健二	142 アルミニウム複合材料中におけるナノ構 造の小さく・広角×線散乱を用いた三次 元トモグラフィによる特性評価 / 香川 大 平山恭介 鳥取大 林 杉 京 都大 奥田浩司	174 ピーク時効状態のAl-4%Cu-1.5%Mg 合金の粒界析出組織 / 茨城大 (D2) 伊藤温海・伊藤吾朗 NIMS 井誠一郎 茨城大 倉本 繁・小林 純也
30 相分布制御によるMg-9Li-1M (M= Zn, Y) 二相合金の高強度・高延性化 / 京都大 八子早保・(B4) 佐藤上 総・辻 伊泰	55 溶体化処理後にアップ・ウェンチ処理し入 工時効したAl-Zn-Mg-Cu合金の微細 組織および耐水素脆化特性 / 茨城 大 (M1) 井坂涼太郎・(M1) 藤金 霖・(B4) 丸山雄登・(D2) 伊藤温海・伊 藤吾朗・倉本 繁・小林純也	84 Characterization of Fe-rich Intermetallics in Cerium Modified Al-Fe alloys / Univ. of Toyama Xing Qi・小野英樹 Kyoto Univ. Le Li・Han Shu・ Zhenghao Chen	112 高強度7000系アルミニウム合金押出材 の応力腐食割れに及ぼす直接スラブ 焼入れの影響 / アイシン軽金属 松 井宏昭・濱高祐樹・吉田朋夫 富山 大 李 昇原・土屋大樹・村上 哲・松 田健二	143 3D/4Dマルチスケールイメージング解 析によるAl-Si-Mg合金の粒子損傷挙 動解析 / 九州大 藤原比呂・戸田 裕之 香川大 平山恭介 JASRI 竹内晃久・上栞真之・佐田侑樹	175 Al-Mg合金におけるおぼろげぼろの固有 SLP曲線に基づき超長期TTP曲線の新 規予測手法の開発 / 横浜国大 (D2) 磯崎 崇・(M1) 小野寺諒・大瀧 光弘・廣澤渉一
31 ショットピーニング後の熱処理温度が AZX612 Mg合金の曲げ変形挙動に 及ぼす影響 / 東京電機大 (M2) 森宮健輔・(B4) 今田 練・小貫祐介	56 AZ31マグネシウム合金の内在水素挙 動解析 / 新居浜高専 重中俊明 茨城大 伊藤吾朗	85 アルミニウムドリスを原料としたスピン 耐火原料の特性評価 / 伊藤忠セウ 近藤大貴・河野静一郎・脇田健二	113 二層構造を有する自己修復表面層によ る1050アルミニウム材料の防食と修復 剤対による影響 / 旭川高専 (B) 橋 本琉樹・(B) 島山乃愛・(B) 福澤果純 旭川高専(現 島根大) 高田りん 旭 川高専 千葉 誠	144 Insights into three-dimensional deformation coordination and damage evolution in duplex Mg- Li alloys / Kyushu Univ. Wu Zhengkai・Hiroyuki Toda・Hiro Fujihara Tsinghua Univ. Zhou Mengran Southwest Jiaotong Univ. Wu Shengchuan JASRI Akihisa Takeuchi・Masayuki Uesugi・Yuki Sada RIKEN Spring-8 Center Jaemyung Kim・Yujiro Hayashi	176 Y-TiAl基合金中におけるセル析出反 応による組織形成の速度論 / 千葉 大 山形遼介・神田太郎・(M1) 正木 翔大・糸井貴臣

2026年5月16日(土) ポスターセッション (3階ホール) ※在席時間をNo.の奇数/偶数に分けて実施※	
① 13:10~14:10 ポスターNo. 奇数の発表者が在席	
② 14:15~15:15 ポスターNo. 偶数の発表者が在席	
P01	レーザー照射中のAl/炭素繊維界面反応およびTiC皮膜の安定性に及ぼすAl側へのTi添加の影響 / 名古屋大 (B4)林 小夏・(M2)中村一貴・鈴木飛鳥・小橋 真
P02	二段階初冷間圧延を施したAl-4.5Zn-2Mg (mass%) 合金における人工時効温度と圧延率の相関の影響 / 東京科学大 (M1)瀧山 皇太・李 有真・オミホ・近藤行人・三宮 工・小林 都夫
P03	Znめっきを施した不純物量の異なるAl-Zn-Mg系合金の環境水素脆化特性 / 大阪大 (M1) 實盛晴記・堀川敬太郎 広島工大 日野 実
P04	片側切欠き試験片を用いたFe, Si量の異なる7075-T6アルミニウム合金の環境水素脆化特性 / 大阪大 (M1)松村駿之介・堀川敬太郎
P05	浮遊炉で作製したW粒子分散アルミニウム合金の内部組織評価 / 大阪大 (M1)米田進一・堀川敬太郎 JAXA 小川千尋・行松和輝・石川 毅彦・菊池政雄 JASRI 星野真人・上杉健太郎
P06	傾斜冷却板がMg-9Al-1Zn-xSn合金の鍛造組織に与える影響 / 東京電機大 (D2)LIANG ZUOWEI・(D1)山田蒼樹・戸塚 穂高 富山県立大 鈴木真由美 東京電機大 渡利久規
P07	双口-ル鋳造Mg-9Al-1Zn-xSn合金とPA66の熱圧着接合特性 / 東京電機大 (M1)瀧藤 建太・戸塚穂高・渡利久規 大阪工大 羽賀俊雄
P08	双口-ル鋳造Mg-9Al-1Zn-xSn合金の組織制御に力学特性に及ぼす鍛造条件の影響 / 東京電機大 (M2)山田蒼樹・戸塚穂高・渡利久規 群馬大 西田進一 大阪工大 羽賀俊雄
P09	双口-ル鋳造AC7A合金とPA66の熱圧着による異種材料界面接合特性および強度評価 / 東京電機大 (M1)西田進一・戸塚穂高・渡利久規 富山県立大 鈴木真由美 大阪工大 羽賀俊雄
P10	LPBF法によるアルミニウム合金に二酸化ケイ素を添加した成形体およびその特性 / 名古屋大 (B4)飯 倉宇隆・鈴木飛鳥・小橋 真
P11	化学処理を施したADC12と銅板の抵抗スポット溶接のH ₂ O侵入効果の評価 / 群馬大 (B4)天野叶太 G-TEKT 吹巻勇司・高岡 舜 群馬大 小山真司
P12	7075-T6アルミニウム合金への無電解Ni-Pめっきによる水素脆性とノボロの生成 / 広島工大 (M1)小田原圭彦・日野 実 広島市工技センター 城戸竜太 兵庫県立大 福室直樹 上村工業 黒坂成吉 大阪大 堀川敬太郎
P13	Mg-8Al-0.5Zn合金鍛造材の引張特性および微細組織に及ぼす均質化処理の影響 / 長岡技術大 (M1)木村耕也・中田大貴・宮下幸雄 BBSジャパン 久我海味・嶋崎浩一・村上貴志
P14	AC7Aアルミニウム合金双口-ル鋳造板の表面膜に及ぼす溶湯アルミニウム内障層の影響 / 東京電機大 (M1)若岡壮太郎・原田陽平 東京科学大 熊井真次
P15	Ti-6Al-2Sn-4Zr-xMo合金の力学特性に及ぼす熱処理の影響 / 熊本大 (B4)迫田利久・熊本大MRC 白石貴久・木口賢紀
P16	Mg-x mol % Sc (18<x<22) 体心立方・六方最密構造二相合金の組織制御と変形誘起相変態挙動 / 京都大 (M1)荻生田直希・八子 早保・Gao Si・辻 伸泰
P17	Al-Mg合金における高所不均一変形帯の解析 / 鳥取大 (M1)春巻太朗・清水一行 大阪大 堀川敬太郎 鳥取大 松野 崇
P18	アルミニウム合金上に作製したAl ₂ O ₃ (OH)皮膜膜厚のSEM画像解析を用いた機械学習による予測 / 芝浦工大 (B4)山田聖弥・(M1)濱股 潮・(D1)東海林瑞希・芹澤 愛
P19	Al-Zn-Mg合金における塑性変形中のBailey-Hirsch関係 / 兵庫県立大 (M1)宮路悠生・(M2)井上敏仁・(M2)福村 慧・足立大樹
P20	摩擦攪拌効果を用いたA5052アルミニウム合金積層成形体の形成 / 日本大 (M1)土田亮太・野口 祐・吉田和範・渡邊満洋
P21	純水を用いたアルミニウム合金上へのAlO(OH)皮膜形成に及ぼす処理温度および圧力の影響 / 芝浦工大 (B4)園田望天・(M1)白田悠斗・(D3)栗原健輔・芹澤 愛
P22	アルミニウム溶液における攪拌下での介在物除去に関する水モデル実験による検討 / 名古屋大 (M2)龍 直輝・原田 寛 UAC 皆川晃広
P23	モンテカルロ法を用いたAl-Mg-Si合金中のナノクラスタ形成に及ぼす転位および位相密度の影響の検討 / 芝浦工大 (B4)島 彰弘・(D1)東海林瑞希・(M1)篠崎 遼 JAEA Ivan Lobzenko・都留智仁 芝浦工大 芹澤 愛
P24	MF構造型Mg-0.4Zn-1.0Y合金の微細化再結晶へのキン導入による高強度化 / 熊本大 (M1)佐久間二輝 熊本大MRC 井上晋一・河村能人
P25	ポーラシタ可能なバレットによる銅板/アルミニウム合金板の接合の易解性における光加熱法の検討 / 群馬大 (B4)早瀬 蓮・半谷裕彦 大阪大 森貞好昭・藤井表俊
P26	Mg ₂ B・粒子 / Al-1.0%Mg ₂ Si合金材料の作製 / 富山大 奥池駿太・土屋大樹・李 昇原・7 フアラアハマト・池野 進・松田健二
P27	高分解能デジタル画像相関法を用いた多結晶子材における局所ひずみ分布の粒径依存性評価 / 京都大 (M1)馬場一誠・八子早保・朴 明 験・辻 伸泰
P28	ブライトナーを塗布したA1050アルミニウム / SS400鋼摩擦攪拌接合体のポアサイズによる加熱方法の検討 / 群馬大 (B4)置居駿也・半谷裕彦・岩崎 篤 大阪大 森貞好昭・藤井表俊
P29	純Al不織布を用いた押出材の作製と組織観察 / 富山大 (B4)松山太祐・(M1)奥池駿太・土屋大樹・李 昇原・アラハマトアラハ・池野 進・松田健二
P30	高い放熱特性をもつアルミニウム合金セル構造体の機械学習を用いた効率的探索 / 名古屋大 (B4)大澤寛基・(M2)小倉広太郎・鈴木飛鳥・小橋 真
P31	時効処理を施したAl-1.5Cu-0.5Mg合金のミクロ組織観察 / 富山大 (B4)石井亮太・(D2)ブーコウハイ・李 昇原・土屋大樹・池野 進・松田健二
P32	最終時効温度200℃での二段階時効を施したAl-1.0mass%Mg ₂ Ge合金の時効硬化挙動 / 富山大 (B4)中地翔太郎・土屋大樹・李 昇原・池野 進・松田健二
P33	Ti-Al-Cr三元系B2規則相の長範囲規則度と力学特性に及ぼす合金組成の影響 / 千葉大 (B4)坂本航平・(M2)高木一生・山形遼介・糸井真臣
P34	工業用純チタン単結晶の軸引張における変形挙動 / 熊本大 (B4)前田勇導 熊本大MRC 北原弘基・安藤新二
P35	Ti-Fe-Cu-Al合金の機械的性質に与える微細組織の影響 / 熊本大 (B4)高道功季 熊本大学MRC 白石貴久・木口賢紀
P36	接合圧延により作製した純チタン/純チタン積層材の組織 / 熊本大 (B4)後藤樹直 熊本大MRC 北原弘基・安藤新二
P37	3DAPによるT相析出型Al-Zn-Mg-Cu合金中の水素直接可視化 / 鳥取大 (B4)谷口俊介 NIMS 佐々木泰祐 鳥取大 清水一行・松野 崇
P38	Y-TiAl合金の組織形成におよぼす固溶酸素の影響 / 千葉大 (B4)野馬瑛士・(M1)正木翔大 千葉大(現 日立)神田太郎 千葉大山形遼介・糸井真臣
P39	Ta添加チタン合金の過熱腐食環境下における強度-耐食性の両立 / 富山大 (M1)松本翔矢 熊本大学MRC 白石貴久・木口賢紀
P40	Ti-8Al-1Mo-1V合金の微細組織と機械的性質に及ぼすNb置換効果 / 熊本大 (B4)瀧永 祐介 熊本大学MRC 白石貴久・木口賢紀
P41	Ti-12Mo-10Zr合金の機械的性質に与える酸素添加効果 / 熊本大 (B4)後藤由輝 熊本大学MRC 白石貴久・Alexey Vinogradov・木口賢紀
P42	Al-Si-Mg合金の組織と引張特性に対するCuおよびZn添加の影響 / 名古屋工大 (M1)久置 公平・徳永透子・萩原幸司
P43	酸素・窒素の拡散浸透法を用いたチタン板の色彩変化と機械的性質の向上 / 群馬大 (B4)星 雄以那・小山真司
P44	組成補正させたA6061アルミニウム合金における時効硬化挙動のトラスループ評価 / 北海道大 (B4)竹内脩斗・(D1)白紙悠之・池田賢一・三浦誠司
P45	MAX相混入型Ti-Al-C合金の微細組織及び機械的性質に与えるSn添加効果の解明 / 熊本大 (B4)森 拓真 熊本大MRC 白石貴久・木口賢紀

2026年5月16日(土) ポスターセッション (3階ホワイエ) ※在席時間をNo.の奇数/偶数に分けて実施※	
① 13:10~14:10 ポスター-No. 奇数の発表者が在席	
② 14:15~15:15 ポスター-No. 偶数の発表者が在席	
P46	水蒸気雰囲気下で高純度二元素アルミニウム合金上にて作製したAlO(OH)皮膜/基材界面近傍のSTEM観察 / 芝浦工大 (M1) 蓮田悠真・(D3) 栗原健輔・芹澤 愛
P47	結晶塑性-水素拡散シミュレーションを用いたAl-Zn-Mg合金の粒界電裂発生メカニズムの解析 / 九州大 (B4) 原 知雄・藤原比呂・戸田裕之 鳥取大 清水一 行 香川大 平山 真 (D2) 比嘉良太 JASRI 竹内寛久・上相真之・佐田伸樹
P48	湿潤環境下におけるAl-Zn-Mg合金の水素誘起電裂発生挙動のメカニズムの解析 / 3Dイメージング解析 / 九州大 (M1) 竹原颯太・藤原比呂・戸田裕之 鳥取大 清水一 行 香川大 平山 真 (D2) 比嘉良太 JASRI 竹内寛久・上相真之・佐田伸樹
P49	AC7Aアルミニウム合金双ロール鋳造のマイクロ組織に及ぼすロールギャップ上方の溶湯冷却の影響 / 東京電機大 (M1) 田野洋介・原田陽平 東京科学大 熊井真次
P50	AZ31Mgマグネシウム合金のブラスマ電解酸化皮膜の腐蝕評価 / 工学院大 (B4) 安藤光彦・萩原健太・阿相英孝
P51	UV型アルミニウム合金のブラスマ電解酸化皮膜の腐蝕評価 / 工学院大 (B4) 佐藤 翔・萩原健太・阿相英孝
P52	A1050アルミニウム合金の銅摩擦溶接接合体の摩擦溶接プロセスの解析 / 群馬大 (M1) 伊原大河・半谷朝彦・鈴木良祐・岩崎 篤大 大阪大接合研 森貞好昭・藤井英俊
P53	溶体化処理条件およびリザー処理条件がβ型析出物の析出に及ぼす影響 / 茨城大 (B4) 三谷俊貴・(M2) 畠山晴子・小林純也・倉本 繁
P54	AZ系マグネシウム合金の放電特性とその溶解挙動 / 同志社大 (B4) 河合悠希・(M2) 山守和真・湯浅元仁・宮本博之
P55	金型で473Kまで徐冷したAl-7%Si-0.3%Mg合金の溶体化処理におけるSEM観察 / 富山大 (M1) 河部元樹・土屋大樹・李 昇原・Abrar Ahmed・池野 進・松田健二
P56	タービンエンジン部品に用いた摩擦溶接接合条件が各種アルミニウム合金の硬さ分布・接合温度に与える影響 / 富山県立大 (B4) 川端 真・伊藤 勉 日本軽金属 堀 久司
P57	摩擦溶接接合を適用したA2024アルミニウム合金の溶体化処理における析出物の影響 / 富山県立大 (B4) 堀内健佑・伊藤 勉 / 室蘭工大 (M1) 辻 晃太・安藤哲也・田湯 善章・吉田孝哉 / トバルト山内 小野寺邦之 道総研 櫻庭洋平・植竹亮太・川上諒大
P58	Ti-O合金圧延材におけるマイクロ組織と力学特性 / 富山県立大 (B4) 堀内健佑・伊藤 勉 / 富山県立大 (B4) 堀内健佑・伊藤 勉
P59	機械学習を用いたAZ31マグネシウム合金における組織因子と耐食性の関係性の解明 / 同志社大 (B4) 田中安海・(M2) 佐藤大貴・湯浅元仁・宮本博之
P60	歯科用メンブレン開発にむけて生体内分解性Mg-Zn-Si合金の機械的性質・溶解性・生体内挙動の評価 / 神戸大 (M1) 谷口雅哉・(卒業生) 藤田 翔・(B4) 室田将貴・中辻竜也・池尾直子・向井 敬司
P61	その場中性子回折によるMg-Y-Zn合金押出材の低温域における引張変形挙動の調査 / 熊本大 (M1) 藤野理子 熊本大MRC 西本宗夫 JAEA Stefanus Herjanto-Wu Gong 名古屋工大 萩原幸司 熊本大MRC 山崎倫昭
P62	Y-TiAl基合金の粒界反応型組織形成の速度論に及ぼす組織因子の影響 / 千葉大 (M1) 正木翔大 日立製作所 神田太郎 千葉大山形 遠介・糸井貴臣
P63	酸素添加したTi-12Mo-5Zrの塑性変形機構 / 熊本大MRC (M1) 橋本 豊・白石貴久・ウイノグランド アレクセイ・木口賢紀
P64	マグネシウム合金における不純物元素挙動の評価と合金設計指針の検討 / 富山県立大 (M1) 萩原大輔・伊藤 勉
P65	耐熱アルミニウム合金における時効硬化現象と組織の関係 / 長岡技術大 (M1) 花岡亮哉 UACJ 中川翔太・新里喜文・眞田 正 長岡技術大 本間智之
P66	Ti-Al-Zr系耐熱合金のβ安定化元素の添加量がマイクロ組織に及ぼす影響 / 長岡技術大 (M1) 加藤 拓 大同特殊鋼 安東知洋・工藤大輔・小柳植彦 長岡技術大 本間智之
P67	溶体化と蒸気コーティング処理したMg-6Al-1Zn-2Ca合金の耐食性および機械的特性 / 芝浦工大 (M2) 太内光里・(M2) 厚海有紀・(M2) 福原康太・石崎貴裕
P68	発泡アルミニウム合金の模擬体を用いたセミリッド状態保持実験の温度条件 / 早稲田大 (M1) 飯塚大那・(D3) 土田菜摘・(B4) 加藤貴晃 千葉工大 高松聖美 早稲田大 鈴木進輔
P69	ひずみ導入されたAl-6.4 mass%Siの昇温過程における結晶方位の変化 / 早稲田大 (B4) 加藤貴晃・(D3) 土田菜摘・(M1) 飯塚大那 千葉工大 高松聖美 早稲田大 鈴木進輔
P70	アノード酸化した1050アルミニウム材料の高温高圧処理による耐食性向上と表面皮膜形態 / 旭川高専 (B) 山口真歩 旭川高専(現 北海道大) 齋藤向榮 旭川高専 千葉 誠
P71	応力発光とDIC解析の併用によるアルミニウム合金の塑性変形挙動の評価 / 大阪大 (M1) 井上達介 鳥津製作所 金丸訓明 大阪大 松本 良・丸山直紀・宇都宮裕 宇都宮裕
P72	シミュレーション処理を用いたマグネシウム合金の酸化腐食挙動の評価 / 東京電機大 (B) 畑本淳之助・(M2) 坂本 航・小貫佑介
P73	LoRaWANによるアルミニウム合金 AC7Aの双ロールキャスト試験中のVOCの測定 / 群馬大 (M1) 重島秀哉・(M1) 関口裕大・原 優加・奥 浩之・中沢信明・荒木幹也・齋藤貴之 順天堂大 隈丸加奈子 群馬大 西田進一
P74	ADC12アルミニウム合金半凝固鍛造における固相率と肉厚部の微細組織に与える影響 / 群馬大 (M2) 衣谷善都・(M1) 青島秀亮・西田進一
P75	工業用純アルミニウムを用いた粉末冶金の圧粉体成形のFEM解析 / 群馬大 (M2) 宮内啓太・(M1) 関口裕大・(M1) 青島秀亮・西田進一
P76	銅ロールを用いた7000系アルミニウム合金の薄板連続鋳造 / 群馬大 (M2) 池藤慶吾・(M1) 関口裕大・西田進一
P77	銅ロールを用いたアルミニウム合金AC7Aの縦型双ロールキャスト試験 / 群馬大 (M1) 関口裕大・(M2) 神藤慎吾・西田進一
P78	蒸気コーティング処理したMg-Al-Zn合金の耐食性と機械的特性に及ぼす溶体化処理の影響 / 芝浦工大 (M1) 福原康太・(M1) 大内光里・(M1) 厚海有紀・石崎貴裕
P79	X線透過画像を用いたポーラスアルミニウムの形状付与過程における内部流れの解析 / 群馬大 (M1) 長井春樹・(M2) 松下雄一朗・天台賢児・半谷朝彦・太田直哉
P80	アルミニウム二次電池の正極への有機硫黄化合物の導入による充放電特性評価 / 米子高専 (専1) 門脇芽衣・谷藤尚貴 千葉大 (B4) 野田悠哉・津田哲哉
P81	Microstructure and mechanical properties of 530 MPa-class LPSO-type Mg-Ni-Y-Zr cast-extruded alloy / Kumamoto Univ. (D1) Zhonghao Qiu・Shinichi Inoue・Yoshihito Kawamura
P82	Effect of intermediate stage natural aging and hardness variation during final aging of Al-Mg-Si alloys / 富山大 (M2) トランシーグアン・土屋大樹・李 昇原・アラバマ大 池野 進・松田健二
P83	Elucidation of corrosion behavior and its orientation dependence of extruded Mg-Y-Zn alloys using AE measurement method / 熊本大 (M1) 久保 古川 章人・西本宗夫 Charles大 山口アノウア 熊本大 山崎倫昭

Program of The 150th Conference of Japan Institute of Light Metals
(May 15-18, 2026 Toyama International Conference Center)

- 1 **【Keynote】** Introduction and activity results of three recycling-related research committees of The Japan Institute of Light Metals
T.Minoda, K.Komori, K.Kato
- 2 Effect of Extrusion Temperature on Mechanical Properties of Products in Direct Recycling Using Hot Extrusion of A6063 Alloy Chip Scrap
T.Miyazaki, T.Shiratori, T.Funazuka, K.Dohda
- 3 Effect of Si content on surface defects in hot extruded products made from 6000 series aluminum alloys
H.Okochi, S.Nakagawa, K.Kitawaki, Y.Sinzato, T.Minoda, T.Funazuka, T.Shiratori
- 4 Intrinsic intermetallic and strength evolution in scrap AA6063
A.Malik, T.Tsuchiya, S.Lee, A.Ahmed, N.Nunomura, T.Shibayanagi, S.Ikeno, K.Matsuda
- 5 Effect of Aging Temperature on age hardening behavior of Balanced and Fe-Added Al-Mg-Si Alloys
K.Ikhlaq, T.Tsuchiya, S.Lee, A.Ahmed, N.Nunomura, T.Shibayanagi, S.Ikeno, K.Matsuda
- 6 Effect of small amounts of Fe and Cu additions on the microstructure and mechanical properties in Al-Mg-Si alloys
Y.Suzuki, T.Tsuchiya, S.Lee, A.Ahmed, N.Nunomura, T.Shibayanagi, S.Ikeno, K.Matsuda
- 7 Mechanical properties and microstructure of Al-Mg-Si alloys containing Fe and Mn
S.Lee, Y.Nakagawa, T.Tsuchiya, A.Ahmed, N.Nunomura, T.Shibayanagi, S.Ikeno, K.Matsuda
- 8 Control of Sodium Impurities on Grain Boundary Embrittlement in Al-Mg Alloys
K.Horikawa
- 9 Effect of impurity elements on basic properties of 6063 aluminum alloy for extrusion
T.Minoda, S.Nakagawa, S.Morita, K.Kajikawa, N.Tanaka, K.Abe
- 10 Effect of impurity elements on surface treatment and corrosion resistance of 6063 aluminum alloy extrusions
S.Morita, K.Kajikawa, S.Nakagawa, T.Minoda, N.Tanaka, K.Abe
- 11 Effect of impurity elements on basic properties of 6005C aluminum alloy for extrusion
T.Shikama, M.Arata, K.Tsuchiya, T.Fujita, S.Nakagawa, T.Minoda
- 12 Effect of impurity elements on surface treatment and corrosion resistance of 6005C aluminum alloy extrusions
Y.Hatazawa, C.Takeda, K.Tsuchiya, T.Fujita, T.Minoda, S.Nakagawa, T.Shikama, M.Arata
- 13 Effect of anodic oxide coating on recycling of architectural aluminum scrap
K.Yamana, S.Oda, T.Hiraki
- 14 Removal of impurity elements from molten aluminum alloy with silica sand
T.Kitamura
- 15 Segregation Behavior of Fe in Molten Aluminum Alloy under Magnetic Force
S.Takeuchi, M.Okayasu
- 16 Effect of unidirectional solidification rate on solidification microstructure and segregation of Si and Cu in Al-Si alloys
T.Kimura, K.Wada, K.Kato, H.Ono
- 17 Si removal from cast aluminum alloy through selective extraction and phase separation
K.Kato, S.Kajitani, H.Ono
- 18 Removal of impurities from ADC12 aluminum alloy via extraction and phase separation using Sn bath
S.Iwasawa, K.Kato, H.Ono
- 19 Influence of Si content on reducing Fe content in molten Al-Si alloy by removing intermetallic compounds
T.Kobayashi, Y.Suzuki, K.Wada
- 20 Silicon removal from molten Al-Mg-Zn alloy through the precipitation of Mg₂Si
M.Kojima, K.Kato, H.Ono
- 21 Control of Solute Distribution in Al-Cu Alloy by Semi-Solid Reduction
H.Harada, A.Takase
- 22 Effect of Fe Addition on Mechanical Properties and Fatigue Characteristics of Al-Si-Mg-Cu Casting Alloy
S.Suzuki, H.Kawahara, T.Okazaki, N.Yamamoto, T.Higuchi, T.Suzuki, Y.Uematsu
- 23 Weldability in Friction Stir Spot Welding of Recycled Aluminum Alloys Equivalent to 6063 Aluminum Alloy
S.Sado, K.Shimode, T.Shibayanagi, T.Funazuka, H.Ono, K.Matsuda, S.Tomomi
- 24 Estimation of alloying element contents in aluminum scrap considering unintentional mixing and accumulation
Y.Kikuta, K.Takeyama, T.Hoshino
- 25 Evaluation of the impact of implementation of scrap sorting on greenhouse gas emissions in the aluminum industry
K.Takeyama, Y.Kikuta, T.Hoshino
- 26 Methodology of life cycle inventory analysis considering generation and consumption of Aluminum scrap
T.Suzuki, I.Daigo
- 27 **【Award Lecture】** Simultaneous improvement of strength and ductility in magnesium alloys via multimodal microstructure design
M.Yamasaki

- 28 Development of Mg-Zn-Ca alloy with high thermal conductivity, strength and ductility based on mixing enthalpy
Y.Wang, S.Inoue, Y.Kawamura
- 29 Categorization and material design guidelines for high thermal conductivity magnesium alloys
Y.Kawamura, Y.Wang, K.Kawano, S.Inoue
- 30 High strength and high ductility in Mg-9Li-1M (M=Zn, Y) dual phase alloys through phase distribution control
S.Yako, K.Sato, N.Tsuji
- 31 Effect of Post-Shot Peening Heat Treatment Temperature on Bending Deformation Behavior of AZX612 Magnesium Alloy
K.Morimiya, R.Imada, Y.Onuki
- 32 Evaluation of wettability and reactivity between aluminum brazing and silicon nitride substrate
T.Kusumoto, M.Ootaki, S.Hirosawa
- 33 Effect of various factors on the tensile properties of robotic friction stir welded curved butt joints in A1050 aluminum alloy and oxygen-free copper
K.Yamanaka, K.suzuki
- 34 Analysis of high-speed oblique collision behavior in magnetic pulse welding of A6061 aluminum alloy and nickel coated copper
Y.Okubo, R.Araya, M.Watanabe, K.Suzuki, S.Kumai
- 35 Surface modification effects of Aluminum foil and PEEK polymer film in thermoplastic metal laminates
D.Tanabe, K.Nishiyabu, K.Asano
- 36 Designing nano-oxide positive electrode toward room-temperature magnesium batteries
R.Inuma, T.Mandai, I.Homma, H.Kobayashi
- 37 Development of aluminum-based microencapsulated phase change materials and their supercooling phenomena
Y.Shimizu, K.Tanahashi, M.Jeem, T.Nomura
- 38 Mechanisms of interfacial microstructure formation and strategies for defect suppression in dissimilar disc friction welding of A1070 pure aluminum and TP340 pure titanium
T.Shibayanagi, M.Yamazaki
- 39 Formation of interface microstructure between aluminum alloy and nickel-plated steel sheet in Magnetic Pulse Welding
Y.Okuie, R.Yamagata, S.Semboshi, M.Ishibashi, K.Okagawa, T.Itoi
- 40 Impact deformation analysis and microstructural observation of magnetic pulse welded plates using Pure Aluminum as a moving plate
K.Taniguchi, R.Hayashi, R.Yamagata, M.Ishibashi, K.Okagawa, T.Itoi
- 41 Effect of Discharge Energy on Collision Deformation Shape in Magnetic Pulse Welding Using Pure Aluminum Plates
R.Hayashi, K.Taniguchi, R.Yamagata, M.Ishibashi, K.Okagawa, T.Nakata, T.Itoi
- 42 Addition of heterogeneous nucleation site particles for investigating the mechanical properties of additively manufactured aluminum and titanium alloys
Y.Watanabe, S.Okubo, K.Kitazono, M.Nishida
- 43 Effect of TiC heterogeneous nucleation addition on defect formation and mechanical properties in A6061 aluminum alloy lattice structures
S.Okubo, S.Nanri, Y.Watanabe, K.Kitazono
- 44 Effects of heterogeneous nucleation site particles on microstructure and mechanical properties of DED-manufactured Al-10Si-0.4Mg alloy
M.Sameshima, T.Naito, M.Yamada, M.Mihara-Narita, H.Sato, M.Nishida, Y.Watanabe, M.Ono
- 45 Comparison of Hypervelocity Impact Behaviors Between Ti-6Al-4V Titanium Alloy Rolled Sheets and Additively Manufactured Plates by Directed Energy Deposition
M.Nishida, Y.Watanabe, T.Sato
- 46 Microstructure and property evaluation of laser powder bed fused Ti-Al-V-Fe alloys for localized control of mechanical properties
M.Taniguchi, M.Deguchi, A.Suzuki, S.Kariya, K.Kondoh, M.Kobashi
- 47 Statistical evaluation of the tensile properties of AlSi10Mg alloy fabricated by the PBF process.
T.Kawashima, T.Matsunaga, H.Matsumiya, E.Sato, T.Ito, Y.Takahashi, C.Takemasa, T.Sugizaki, T.Sato, S.Kato, K.Nozaki
- 48 Compressive behavior of additively manufactured Al-Mg-Sc alloy lattice structures
R.Zhao, K.Kitazono
- 49 Effects of Cell Size on Hypervelocity Impact Fracture Behaviors of Additive-manufactured Al-10%Si-0.4%Mg Alloy Gyroid Structures
M.Nishida, M.Yamada, Y.Watanabe
- 50 Property Prediction and Scale-Up Design for Cellular Structures Using VAE-NN
K.Hada, A.Suzuki, M.Kobashi
- 51 Fabrication of 6000 series aluminum alloy easy disassemblable rivets with localized foaming agent at the fracture part
R.Sunaga, Y.Hangai, A.Iwasaki, Y.Morisada, H.Fujii
- 52 Effect of cooling rate after solution treatment on hydrogen embrittlement characteristics in Al-Zn-Mg alloys
T.Fukuoka, K.Shimizu, T.Matsuno, M.Uesugi, A.Takeuchi, Y.Sada
- 53 Analysis of hydrogen embrittlement in T-phase precipitated Al-Zn-Mg alloys with varying Zn and Mg contents
K.Shiki, K.Shimizu, T.Matsuno, H.Toda, H.Fujihara, M.Uesugi, A.Takeuchi, Y.Sada

- 54 Nano mechanism analysis of environmentally assisted fracture for ultra-high strength Al-Zn-Mg alloys
M.Takeda, H.Fujihara, H.Toda, Y.Todaka, N.Adachi, Y.Ishii
- 55 Microstructure and resistance to hydrogen embrittlement of Al-Zn-Mg-Cu alloy solutionized, up-quenched and subsequently artificially aged
R.Isaka, J.Li, Y.Maruyama, A.Ito, G.Itoh, S.Kuramoto, J.Kobayashi
- 56 Behavior of internal hydrogen in an AZ31 magnesium alloy
T.Manaka, G.Itoh
- 57 Crystal plasticity analysis on activated regions of {10-12} twin in magnesium alloys with basal texture
S.Hasegawa, T.Mayama, H.Somekawa
- 58 Effect of texture on extrusion speed of magnesium alloy
S.Kanitani, Y.Matsumoto, M.Ogawa, T.Nakata
- 59 Effect of drawing and re-drawing conditions on ironing formability of work-hardened sheet of 3104 aluminum alloy for DI can body
Y.Inoue
- 60 Effects of sever plastic deformation on formability of β -type titanium alloy
M.Amatsu, I.Kuboki
- 61 **【Keynote】** Physics of the kink phenomenon: perspectives of lattice instability and structural science
E.Abe
- 62 Geometric analysis of cooperative deformation occurring in sheared kink microstructures
R.Matsumura, H.Kawashima, T.Inamura
- 63 Kink-deformed microstructure in bimodal Mg-Al-Y alloy
D.Egusa, H.Chen, Y.Ito, M.Yamasaki, E.Abe
- 64 Deformation behavior in kink-strengthened bimodal Mg-Al-Y alloy
Z.Lei, H.Chen, D.Egusa, T.Mayama, Z.Chen, E.Abe
- 65 **【Keynote】** Crystal plasticity analysis of kink banding caused by anisotropy of material and structure
T.Mayama, K.Hagihara
- 66 Identification of material parameters based on lattice strain development in as-cast Mg-Zn-Y alloy and numerical analysis of inhomogeneous deformation
D.Tanaka, T.Mayama, S.Takayama, M.Yamasaki, Y.Kawamura, S.Morooka, W.Gong, S.Harjo, K.Hagihara, T.Tokunaga
- 67 Mechanical properties of constituent regions in multimodal microstructure of LPSO-type Mg-Y-Zn extruded alloys
S.Nishimoto, R.Mizuguchi, K.Kwak, Y.Mine, K.Hagihara, M.Yamasaki
- 68 **【Keynote】** Kink strengthening of MF structure and LPSO structure
Y.Kawamura
- 69 Improvement in mechanical properties of MF-type Mg-Zn-Y-Zr alloy by strain aging
S.Inoue, I.Sata, Y.Kawamura
- 70 Theoretical unification of dislocations and point defects through differential geometry
R.Kobayashi, S.Kobayashi, R.Tarumi
- 71 Controlling mechanical properties of Ti-based high-strength mille-feuille materials by controlling alloy composition
K.Hagihara, T.Tokunaga
- 72 MLFF-based atomic scale mechanism of Kink/Twin deformation in hcp-Zn
Y.Ito, D.Egusa, M.Yamaguchi, E.Abe
- 73 First-principles study on the effect of transition-metal elements (Zn, Cu, and Ni) on the phase stability of LPSO structures in Mg-Co-Y alloys
T.Tsumuraya, M.Yamasaki, T.Itoi
- 74 Prediction of material internal structures using information geometry
R.Tarumi
- 75 Microstructure of Polypropylene strengthened by heat elongation
M.Endo, D.Egusa, H.Saito, E.Abe
- 76 Behavior solution of drop dusts in aluminum DC casting line by theoretical analysis
Y.Taniyama, Y.Shinomiya, S.Kajimura
- 77 Behavior solution of drop dusts in aluminum DC casting line by numerical analysis
Y.Shinomiya, S.Kajimura, Y.Taniyama
- 78 Molten metal intrusion countermeasures of drop dusts in aluminum DC casting line
S.Kajimura, Y.Taniyama, Y.Shinomiya
- 79 Development and validation of numerical simulation model for aluminum melting furnace
K.Kamiya, A.Suzuki, F.Nozaki, Y.Shinomiya
- 80 Optimization of drying method for aluminum melting furnace by numerical analysis
Y.Taniyama, N.Ishikawa
- 81 Effect of Double-Diffusion Convection on the lateral solidification microstructure in Al-Si alloys
T.Yamane, K.Shimode, T.Maguchi, K.Shimazaki, T.Shibayanagi

- 82 Morphological changes in the eutectic Si of hypoeutectic Al-Si cast alloy during heat treatment
R.Terashima, H.Sato, M.Mihara-Narita, Y.Watanabe
- 83 Improvement of surface condition on aluminum alloy strip cast using vertical type high speed twin roll caster equipped with protrusion roll
R.Kotaru, K.Masada, T.Haga
- 84 Characterization of Fe-rich Intermetallics in Cerium Modified Al-Fe alloys
X.Qi, H.Ono, L.Li, H.Shu, Z.Chen
- 85 Characterization of spinel refractory materials using aluminum dross as raw material
H.Kondo, S.Kono, K.Wakita
- 86 **【Keynote】** Trends in research and development of cathode materials and electrolytes for rechargeable magnesium batteries
T.Ichitsubo
- 87 Fabrication of dilute Mg binary alloy foils and its effect of alloying on mechanical and functional properties
H.Somekawa, N.Motohashi, S.Kuroda, T.Mandai
- 88 Application of light metals (Mg, Al, and Ti) as anode materials for lithium batteries
H.Kurihara, T.Hibino, T.Mizuno, T.Aida, H.Tabata, T.Haga, M.Suzuki, T.Ichitsubo, T.Tsukeda
- 89 Casting of aluminum alloy foils and magnesium alloy foils using single roll rapid solidification method
T.Haga, N.Kinoshita, I.Hara, T.Aida, H.Tabata, H.Kurihara, M.Suzuki, T.Nakata, T.Ichitsubo, T.Tsukeda
- 90 Casting of clad foils consisting of pure aluminum and magnesium alloy using single roll rapid solidification method
N.Kinoshita, T.Haga, I.Hara, T.Aida, H.Tabata, H.Kurihara, M.Suzuki, T.Nakata, T.Ichitsubo, T.Tsukeda
- 91 Electrochemical properties of Mg-Al-Ca alloy anode foil for sustainable magnesium rechargeable batteries
T.Tsukeda, T.Ichitsubo, T.Matsumoto, T.Aida, H.Kurihara, H.Tabata, M.Suzuki, T.Haga, T.Nakata
- 92 Effect of melting temperature on the electrochemical properties of Mg-Al-Ca-Si anode foil for magnesium rechargeable batteries
T.Matsumoto, T.Aida, H.Tabata, T.Nakata, M.Suzuki, T.Haga, H.Kurihara, T.Ichitsubo, T.Tsukeda
- 93 Microstructural control and electrochemical property improvement of single-roller rapidly solidified Mg-9%Al-3%Ca alloy foil by rolling and alloying
T.Nakata, T.Matsumoto, T.Aida, H.Kurihara, H.Tabata, T.Haga, M.Suzuki, T.Ichitsubo, T.Tsukeda
- 94 Formation of iron oxide coatings and electrochemical properties of Mg-Al-Ca-Si Alloy anode foil and simultaneously clad foil with molten aluminum by immersion in ferric chloride solution
S.Hashimoto, H.Muranishi, T.Aida, H.Kurihara, H.Tabata, T.Haga, M.Suzuki, T.Nakata, T.Ichitsubo, T.Tsukeda
- 95 Microstructures of Mg-Al-Ca-based alloy anode foil materials for magnesium rechargeable batteries
M.Suzuki, R.Mori, H.Muranishi, T.Matsumoto, S.Hashimoto, T.Aida, H.Tabata, T.Haga, T.Nakata, H.Kurihara, T.Ichitsubo, T.Tsukeda
- 96 Effect of Mn content on the electrochemical properties of Al-0.5mass%Si anode foil for lithium rechargeable batteries
T.Mizuno, T.Hibino, T.Aida, T.Tsuchiya, K.Matsuda, H.Kurihara, H.Tabata, T.Haga, Y.Nakata, T.Ichitsubo, T.Tsukeda
- 97 Fabrication and electrochemical characterization of recycled aluminum alloy anode foil for lithium rechargeable batteries using single-roll rapid solidification method
Y.Shimizu, T.Aida, H.Kurihara, H.Tabata, T.Haga, T.Tsuchiya, K.Matsuda, T.Ichitsubo, T.Tsukeda
- 98 Effect of severe shear deformation induced by differential-speed rolling with differential-diameter rolls on the microstructure of commercially pure aluminum sheets
D.Fujita, H.Yoshimura, Y.Takahashi, T.Ito, T.Uemori
- 99 Biaxial deformation of aluminum alloy sheets by means of warm temperature biaxial tension tests
H.Hamasaki
- 100 High-temperature deformation behavior and constitutive equation development in 6xxx-series aluminum alloys
T.Ito, M.Oshima
- 101 Tension test of aluminum alloys at high temperature
H.Yoshimura, T.Ito, T.Uemori, Y.Takahashi
- 102 Simple shear test of aluminum alloys at high temperature
H.Yoshimura, T.Ito, Y.Takahashi, T.Uemori
- 103 Simple torsional test of aluminum alloys at high temperature
H.Tanimoto, H.Yoshimura, Y.Takahashi, T.Ito, T.Uemori
- 104 Effect of Cu Concentration in Al-Mn Alloys on Cathodic Action of Secondary Phase Particles
T.Sano, T.Suzuki
- 105 Corrosion and hydrogen evolution behavior of 1050 aluminum in Sodium Chloride solution
M.Sakai, K.Takahashi
- 106 Effect of Sn on microstructure and corrosion initiation process of Al-Mg alloys
T.Kosaba, E.Tada
- 107 Influence of Sn addition to AC4B aluminum alloy on the oxide film formation
J.Takahashi, Y.Takayama, A.Yamauchi
- 108 Improvement of corrosion resistance of Mg-Y-Zn dilute alloys by Al-addition
D.Ishimine, S.Nishimoto, M.Yamasaki

- 109 Kinetics study of high-temperature oxidation of titanium and Ti-6Al-4V alloys in air
T.Takahashi
- 110 Phase changes associated with the hydrolysis reaction of Mg-In-Ga alloys
A.Hirosawa, R.Nagata, R.Murakami, S.Semboshi, R.Yamagata, T.Itoi
- 111 Effect of step quenching on grain boundary precipitates in high strength 7000 series aluminum alloy extruded materials
T.Yoshida, Y.Hamataka, H.Matsui, S.Lee, D.Tsuchiya, S.Murakami, K.Matsuda
- 112 Effect of direct step quenching after extrusion on stress corrosion cracking of high strength 7000 series aluminum alloy extruded materials
H.Matsui, Y.Hamataka, T.Yoshida, S.Lee, T.Tsuchiya, S.Murakami, K.Matsuda
- 113 Corrosion protection of 1050 Al with self-healing surface layer and effect of pair of healing agent
Y.Hashimoto, N.Hatakeyama, K.Fukuzawa, R.Takada, M.Chiba
- 114 **【Award Lecture】** Novel high-performance aluminum alloy series created by laser additive manufacturing technologies
N.Takata
- 115 Synchrotron radiation X-ray diffraction measurements of Al-Fe alloy series fabricated by laser powder bed fusion
T.Matsushita, Y.Otani, N.Takata, H.Adachi
- 116 Additively Manufactured Porous Metallic Lattices for Enhanced Large-Area Pool Boiling in Immersion Cooling
S.Zhou, Y.Wang, A.Suzuki, M.Kobashi, J.Umeda, C.Inoue, Z.Wang
- 117 **【Award Lecture】** Properties of light metals produced by powder metallurgy
M.Kubota
- 118 Properties of Mg-Al(-Ti) alloys fabricated by powder metallurgy
Y.Habuka, M.Kubota
- 119 Fabrication and properties of Mg-Refractory High-Entropy Alloys by powder metallurgy
K.Takano, M.Kubota
- 120 Effect of bimodal microstructure control on strength and ductility of Al-Y₂O₃ dispersion strengthened alloys
T.Sakamoto, T.Yamasaki, S.Shiga
- 121 High temperature stability of TiAl alloys with unique nano microstructures prepared by metal additive manufacturing
K.Cho, K.Karashima, M.Takeyama, T.Nakano, H.Yasuda
- 122 Effect of intermediate annealing on recrystallization behavior of heavily cold rolled Al-Fe alloy foil
T.Yasumoto, T.Suzuki
- 123 Effects of ECAP processing and subsequent short-time heating on microstructure of 6061 aluminum alloy
S.Sasaki, Y.Nakayama, N.Saruwatari, E.Sekiya
- 124 Characterization of local deformation behavior and macroscopic mechanical properties of Mg and Mg-1.3Y alloy by digital image correlation (DIC)
M.Park, B.Sun, S.Yako, N.Tsuji
- 125 Tensile direction dependences of mechanical twinning and deformation behavior in commercially pure titanium with a sharp basal texture
R.Yoshioka, C.Watanabe, N.Koga, H.Miura
- 126 Effect of zinc on the dissolution of inclusion-free ultra-high purity magnesium plate
K.Ueda, K.Sasaki, T.Nakata, D.Ando, Y.Sugawara, T.Narushima
- 127 Effect of rolling conditions on tensile properties, corrosion resistance, and microstructures of low-alloyed Mg-Zn alloy
K.Nishijima, T.Nakata
- 128 Corrosion Resistance of High-Purity Mg and Mg-Zn Alloy in Neutral Chloride Solution
T.Kobayashi, Y.Sugawara, T.Nakata, D.Ando, K.Ueda
- 129 Stress corrosion cracking resistance of Mg-Sc alloys in simulated seawater
D.Ando, Y.Sutou
- 130 Effect of zinc or calcium additions on the mechanical performance of magnesium in physiological environments
K.Nakamura, K.Ishii, N.Ikeo, T.Mukai
- 131 Simultaneous improvement of tensile properties and formability of Mg-Zn-Ca alloy rolled sheet by rolling using room-temperature roller
T.Nakata, Y.Nakae
- 132 Mechanical properties improvement of Mg-9Al-1Zn-xCa alloys processed by rotary swaging for biodegradable material
H.Takeishi, D.Ando, Y.Sutou
- 133 Microstructural Characterization and Mechanical Properties of Excess-Si Al-Mg-Si-Cu Alloys
K.Iwasa, Y.Suzuki, T.Tsuchiya, S.Lee, A.Ahmed, S.Ikeno, K.Matsuda
- 134 Effect of oxygen contents on microstructure of $\alpha+\beta$ -type Ti-4.5Al-6Nb-2Fe-2Mo alloys for biomedical applications
T.Araki, K.Ueda, T.Narushima
- 135 Fabrication of Ti-Mo binary alloy by SPS using quartz die
N.Ikeo, Y.Hayashi, M.Ito

- 136 Fabrication of Ti-Ag-O alloys by laser additive manufacturing for biomaterials applications
M.Dong, G.Benedicte, W.Zhou, N.Nomura
- 137 In-situ alloying and microstructure development of Ti-20at.Nb alloy using pure metal powders and L-PBL
M.Todai, T.Nagase, T.Nakano
- 138 Relationship between segregation and elastic modulus in biomedical titanium alloys containing high concentrations of a high-melting-point element
M.Nakai, N.Ota, K.Ueki
- 139 Compositional modulation-derived heterostructure formation in Ti alloys and control of strength-ductility balance
T.Ishimoto, R.Yoshida, T.Manaka
- 140 Machine learning assisted design for high-conductivity aluminum alloys
J.Huang, Y.Sugiyama, K.Fujisaki, S.Sawada, D.Ando, Y.Sutou
- 141 Machine-learning for surface inspection of rolled aluminum
S.Nakamura
- 142 Characterisation of nanostructures in aluminium composite materials using three-dimensional tomography with small-angle and wide-angle X-ray scattering
K.Hirayama, S.Lin, H.Okuda
- 143 Analysis of particle damage behavior in Al-Si-Mg alloy by 3D/4D multimodal image-based analysis
H.Fujihara, H.Toda, K.Hirayama, A.Takeuchi, M.Uesugi, Y.Sada
- 144 Insights into three-dimensional deformation coordination and damage evolution in duplex Mg-Li alloys
Z.Wu, H.Toda, H.Fujihara, M.Zhou, S.Wu, A.Takeuchi, M.Uesugi, Y.Sada, J.Kim, Y.Hayashi
- 145 Effect of grain size on work hardening and dislocation density changes in aluminum alloys during tensile deformation
H.Adachi, K.Adachi, T.Inoue
- 146 Influence of back stress on work hardening during tensile deformation of aluminum and its grain-size dependence
D.Terada, K.Matsuda, K.Shibakoshi
- 147 Effects of temperature and strain rate on tensile deformation properties in aluminum alloy with high amount of copper based on A6082 aluminum alloy
H.Yamada, K.Tateyama, N.Ogasawara
- 148 Effect of heat treatment and high pressure torsion on the tensile properties of α -Al-Mg₂Si two-phase alloys fabricated by laser powder bed fusion
Y.Otani, N.Takata, L.Bhatta, I.Lee, M.Kawasaki
- 149 Mechanical properties and aging behavior of Al-5Si-0.5Mg-0.15Cu alloy developed for large sand-mold castings in gigacasting applications
D.Terada, T.Shigemitsu, K.Hachiya, Y.Mamiya, H.Tachibana, S.Koiwai, M.Adachi
- 150 Long-time induced changes in microstructures, mechanical properties, and electrical conductivity of pure aluminum processed by the accumulative roll-bonding
Y.Asano, T.Kunimine, Y.Miyajima, N.Tsuji
- 151 Hypervelocity Perforation Behavior of Fine Grained A6061 Aluminum Alloy Plates Using High-Pressure Sliding
M.Nishida, M.Nagayoshi, Y.Takizawa, M.Yumonto, Z.Horita
- 152 Dislocation density evaluation in precipitation-hardened aluminum alloys using crystal plasticity finite element method and X-ray diffraction
H.Dannoshita, S.Muraishi
- 153 Effect of hot-rolling temperature on strength of Al-Mn-Mg alloy sheets containing small amount of copper
H.Nakayasu, Y.Tabuchi
- 154 Durability of water droplet sliding ability of superhydrophobic surface treated aluminum plate
L.Pao
- 155 Effect of electroless Ni-P plating on fatigue strength of 7075 aluminum alloy
M.Hino, A.Asada, K.Odawara, S.Kurosaka, H.Okubo, R.Tasaka, K.Horikawa
- 156 Growth behavior of AlO(OH) films formed on high-purity Al-Cu, Al-Mg, and Al-Zn alloys with different solute concentrations
K.Kurihara, A.Serizawa
- 157 Effect of crystallographic orientation on the growth of anodic oxide films on Al-Mg-Si alloys
S.Takemura, T.Niino, D.Nakajima, W.Narita
- 158 Evaluation of twinnability by electronic band structure for titanium
T.Matsunaga, E.Sato
- 159 High-speed deformation and fracture behaviors of commercially pure titanium with different grain sizes
K.Nakanishi, C.Watanabe, N.Koga, N.Adachi, Y.Todaka, H.Miura
- 160 Bending deformation behaviour of commercially pure titanium sheets with different oxygen content
S.Ando, K.Nojiri, H.Kitahara
- 161 Effects of heat treatment on microstructure and mechanical properties of TiAl-Ti₂Al(N,C) composites
M.Murakami, T.Shiraishi, T.Kiguchi

- 162 Various type of precipitates and strengthening behavior in a pre-deformed Al-Mg-Si-Cu alloy
V.N.Hai, A.Ahmed, S.Lee, T.Tsuchiya, T.Katsumi, K.Kita, K.Matsuda
- 163 Precipitation Behavior and Local Mechanical Properties Near Grain Boundaries in Coarse-Grained Al-Mg-Si Alloys
Y.Shirakami, S.Takeuchi, K.Ikeda, S.Miura
- 164 Electrical resistivity changing during several aging treatment of cast Al-7%Si-0.3%Mg alloy
S.Matsuo, M.Abe, T.Tsuchiya, S.Lee, T.Namiki, K.Nishimura, S.Ikeno, K.Matsuda
- 165 Age hardening behavior of Zn-diffused Al-1.0%Mg alloy
R.Kodama, R.Tomori, T.Suzuki, S.Fukada
- 166 A Quantitative Approach to Minimize Errors for cluster analysis using Atom Probe Tomography in Al-Mg-Si(-Cu-Sn) Alloys
M.Y.Lee, J.W.Park, M.-S.Kim, J.Lee, D.Isheim, D.N.Scidman, J.H.Kim
- 167 Effect of strain amount of changing due to ARB on aging behavior in ultrafine-grained Al-0.8%Si-0.8%Ge alloy
K.Nakagawa, S.Sato, N.Tsuji, M.Paku, T.Kanadani
- 168 Microstructure evolution in early stage of isothermal aging in A7150 aluminium alloy
M.Mihara-Narita, G.Saito, T.Okajima, S.Muto, E.Abe, K.Takata
- 169 Microstructure evolution in early stage of isothermal aging in an Al-Mg-Si alloy
H.Tanaka, H.Okamoto, K.Takata, G.Saito, S.Muto, T.Okajima, M.Mihara-Narita, E.Abe
- 170 Microstructural Observations of Precipitation Behavior in Al-Zn-Mg Alloys with Varying Zn/Mg Ratios
W.Sanphiboon, T.Tsuchiya, S.Lee, A.Ahmed, S.Ikeno, K.Matsuda, K.Shibata, H.Matsui, T.Yoshida
- 171 Age hardening behavior and microstructure observation of Al-Zn-Mg alloys (Zn/Mg=1) during aging at 423K
S.Shinozaki, W.Sanphiboon, T.Tsuchiya, S.Lee, A.Ahmed, S.Ikeno, K.Matsuda, K.Shibata, H.Matsui, T.Yoshida
- 172 Image analysis based extraction of structural features from STEM images of AA6022 aluminum alloy
K.Gonome, H.Nakanishi, D.Egusa, E.Abe
- 173 Ageing Precipitation Behavior in Al-Zn-Mg Alloys with low Cu content
Y.Innab, H.Chen, D.Egusa, E.Abe
- 174 Grain boundary precipitates in a peak-aged Al-4%Cu-1.5%Mg alloy
A.Ito, G.Itoh, S.Ii, S.Kuramoto, J.Kobayashi
- 175 Development of novel prediction method of ultra-long-term Time-Temperature-Precipitation (TTP) curves based on intrinsic Supersaturation-diffusion Length-Precipitation (SLP) curves of β' and β phases in Al-Mg alloys
T.Shinozaki, R.Onodera, M.Ootaki, S.Hirosawa
- 176 Formation kinetics of microstructure formation by cellular precipitation in γ -TiAl alloys
R.Yamagata, T.Kanda, S.Masaki, T.Itoi
- P01 Effect of Ti into Al on Al/Carbon fiber interfacial reaction and stability of TiC coating during laser irradiation
K.Hayashi, K.Nakamura, A.Suzuki, M.Kobashi
- P02 Combined effects of artificial aging temperature and rolling reduction on two-step aged and cold-rolled Al-4.5Zn-2Mg (mass%) alloy
Y.Namekawa, Y.Rhee, M.Oh, Y.Kondo, T.Sannomiya, E.Kobayashi
- P03 Environmental Hydrogen Embrittlement behavior of Al-Zn-Mg alloys with different impurity contents after Zn plating
H.Jitsumori, K.Horikawa, M.Hino
- P04 Evaluation of Environmental Hydrogen Embrittlement in 7075-T6 Aluminum Alloys with Different Fe and Si Amounts Using Single-Edge Notched Specimens
S.Matsumura, K.Horikawa
- P05 Microstructural Evaluation of W Particle-Dispersed Aluminum Alloys Fabricated by a Levitation Furnace
N.Yoneda, K.Horikawa, C.Koyama, K.Yukimatsu, T.Ishikawa, M.Kikuchi, M.Hoshino, K.Uesugi
- P06 Influence of an Inclined Cooling Plate on the Solidification Microstructure of Mg-9Al-1Zn-xSn Alloys
L.Z.Wei, A.Yamada, H.Tozuka, M.Suzuki, H.Watari
- P07 Bonding Characteristics between Twin-Roll Cast Mg-9Al-1Zn-xSn Alloys and PA66 by Hot Pressing
K.Saito, H.Tozuka, H.Watari, T.Haga
- P08 Effects of casting conditions on microstructure control and mechanical properties of twin-roll cast Mg-9Al-1Zn-xSn alloys
A.Yamada, H.Tozuka, H.Watari, S.Nishida, T.Haga
- P09 Interfacial Bonding Characteristics and Strength Evaluation of Dissimilar AC7A Alloy/PA66 Joints Fabricated by Twin-Roll Casting and Hot Pressing
R.Machida, H.Tozuka, H.Watari, M.Suzuki, T.Haga
- P10 Compressive deformation behavior of LPBF-fabricated Aluminum alloy honeycomb periodic and Einstein's monotele-based aperiodic structures
T.Itakura, A.Suzuki, M.Kobashi
- P11 Effect of interfacial water insertion on resistance spot welding of chemically treated ADC12 aluminum alloy to steel
K.Amano, Y.Yabuki, S.Takaoka, S.Koyama
- P12 Hydrogen embrittlement and generation of Nano voids of 7075-T6 aluminum alloy by electroless Ni-P plating
K.Odawara, M.Hino, R.Kido, N.Fukumuro, S.Kurosaka, K.Horikawa

- P13 Effect of homogenization treatment on tensile properties and microstructures of forged Mg-8Al-0.5Zn alloy
K.Kimura, T.Nakata, Y.Miyashita, M.Kuga, K.Shimazaki, T.Murakami
- P14 Effect of obstacles in molten metal pool on surface patterns of AC7A aluminum alloy twin-roll cast strips
S.Iwasaki, Y.Harada, S.Kumai
- P15 Effect of heat treatment on the mechanical properties of Ti-6Al-2Sn-4Zr-xMo alloys
R.Sakoda, T.Shiraishi, T.Kiguchi
- P16 Microstructure control of body-centered cubic and hexagonal close-packed dual phase Mg-x mol % Sc ($18 < x < 22$) alloys and its deformation-induced martensitic transformation
N.Shimuta, S.Yako, S.Gao, N.Tsuji
- P17 Analysis of localized non-uniform deformation bands in Al-Mg alloys
S.Haru, K.Shimizu, K.Horikawa, T.Matsuno
- P18 Machine learning-based prediction of the thickness of AlO(OH) films formed on aluminum alloys using SEM image data
S.Yamada, U.Inomata, M.Shoji, A.Serizawa
- P19 Bailey-Hirsch Relationship during Plastic Deformation in Al-Zn-Mg Alloys
Y.Miyaji, T.Inoue, A.Inamura, H.Adachi
- P20 Formation of A5052 aluminum alloy laminated structure by additive manufacturing using friction stir effect
R.Tsuchida, Y.Noguchi, K.Yoshida, M.Watanabe
- P21 Influence of processing temperature and pressure on AlO(OH) film formation on aluminum alloys using pure water
N.Sonoda, Y.Shirata, K.Kurihara, A.Serizawa
- P22 Investigation of inclusion removal in stirred molten aluminum using water model experiments
N.Tachi, H.Harada, A.Minagawa
- P23 Monte Carlo Study on the Effects of Dislocations and Dislocation Density on Nanocluster Formation in Al-Mg-Si Alloys
A.Shima, M.Shoji, R.Shinozaki, L.Ivan, T.Tsuru, A.Serizawa
- P24 High strengthening of MF-type Mg-Zn-Y alloys through kink in fine DRX grains
K.Sakuma, S.Inoue, Y.Kawamura
- P25 A study on optical heating method easy disassembly of steel/aluminum alloy plate joint using foamable aluminum alloy rivets
R.Hayase, Y.Hangai, Y.Morisada, H.Fujii
- P26 Fabrication of MgB₂ Particle /Al-1.0% Mg₂Si Composites
S.Okuike, T.Tsuchiya, S.Lee, A.Ahmed, S.ikeno, K.Matsuda
- P27 Evaluation of grain size dependence of local strain distributions in polycrystalline titanium through high-resolution digital image correlation
I.Baba, S.Yako, M.Park, N.Tsuji
- P28 Heating methods for porous A1050 aluminum/SS400 steel friction stir spot welded joints with black toner
S.Hokyo, Y.Hangai, A.Iwasaki, Y.Morisada, H.Fujii
- P29 Fabrication and microstructural observation of extruded material using pure aluminum nonwoven fabric
D.Matsuyama, S.Okuike, T.Tsuchiya, S.Lee, A.Ahmed, S.Ikeno, K.Matsuda
- P30 Efficient exploration of aluminum alloy cellular structures with high heat dissipation performance Using machine learning
K.Ohashi, K.Ogura, A.Suzuki, M.Kobashi
- P31 Microstructural observation of aging-treated Al-1.5Cu-0.5Mg alloy
R.Ishii, V.Hai, S.Lee, T.Tsuchiya, S.Ikeno, K.Matsuda
- P32 Age-hardening behavior of Al-1.0mass%Mg₂Ge alloy subjected to two-step aging at a final aging temperature of 200°C
S.Nakachi, T.Tsuchiya, S.Lee, S.ikeno, K.matsuda
- P33 Effect of Alloy Composition on Long-Range Order parameter and Mechanical Property of the Ti-Al-Cr Ternary B2 Phase
K.Sakamoto, I.Takagi, R.Yamagata, T. Itoi
- P34 Deformation behavior of commercially pure titanium single crystals in c-axis tension
H.Maeda, H.Kitahara, S.Ando
- P35 Effect of microstructure on the mechanical properties of Ti-Fe-Cu-Al alloys
K.Takahama, T.Shiraishi, T.Kiguchi
- P36 Microstructure of pure Mg/pure Ti clad sheets fabricated by roll bonding
Y.Goto, H.Kitahara, S.Ando
- P37 Direct visualization of hydrogen in T-phase precipitation type Al-Zn-Mg-Cu alloys by 3DAP
S.Taniguchi, T.Sasaki, K.Shimizu, T.Matsuno
- P38 Effect of Solute Oxygen on Microstructure Formation in γ -TiAl Alloys
E.Tsushima, S.Masaki, T.Kanda, R.Yamagata, T.Itoi
- P39 Achieving a balance between strength and corrosion resistance in Ta-added titanium alloys under severe corrosive environments
R.Matsumoto, T.Manaka, T.Ishimoto
- P40 The effect of Nb substitution on the microstructure and mechanical properties of Ti-8Al-1Mo-1V alloy
Y.Tokunaga, T.Shiraishi, T.Kiguchi

- P41 Effect of oxygen addition on mechanical properties of Ti-12Mo-10Zr alloy
Y.Goto, T.Shiraishi, A.Vinogradov, T.Kiguchi
- P42 Effect of Cu and Zn additions on the microstructure and tensile properties of Al-Si-Mg Alloys
K.Hisatomi, T.Tokunaga, K.Hagihara
- P43 Color change and mechanical properties improvement of titanium plate by diffusion-penetration method of oxygen and nitrogen
Y.Hoshi, S.Koyama
- P44 High-Throughput Evaluation of Age-Hardening Behavior in Compositionally Graded A6061 Aluminum Alloy
S.Takeuchi, Y.Shirakami, K.Ikeda, S.Miura
- P45 Effect of Sn addition on microstructure and mechanical properties of MAX phase crystallized Ti-Al-C alloys
T.Mori, T.Shiraishi, T.Kiguchi
- P46 STEM observation of the film/substrate interface in AlO(OH) films formed on high-purity binary aluminum alloys under a steam atmosphere
Y.Taneda, K.kurihara, A.Serizawa
- P47 Analysis of intergranular crack initiation in Al-Zn-Mg alloys using crystal plasticity and hydrogen diffusion simulations
T.Hara, H.Fujihara, H.Toda, K.Shimizu, K.Hirayama, R.Higa, A.Takeuchi, M.Uesugi, Y.Sada
- P48 Multi-modal 3D image-based analysis of hydrogen induced crack initiation behavior in Al-Zn-Mg alloys under humid environments
S.Takehara, H.Fujihara, H.Toda, K.Shimizu, K.Hirayama, R.Higa, A.Takeuchi, M.Uesugi, Y.Sada
- P49 Effect of molten-metal-cooling above roll gap on microstructures of AC7A aluminum alloy twin-roll cast strips
Y.Nakatsubo, Y.Harada, S.Kumai
- P50 Evaluation of withstand voltage of oxide film formed on AZ31B magnesium alloy by plasma electrolytic oxidation
K.Ando, K.Hagiwara, H.Asoh
- P51 Effect of electrolyte composition on growth rate and breakdown voltage of anodic barrier film of aluminum
S.Sato, K.Hagiwara, H.Asoh
- P52 Easy disassembling by friction stir processing for A1050 aluminum/C1100 copper friction stir welded joints
T.Nakahara, Y.Hangai, R.Suzuki, A.Iwasaki, Y.Morisada, H.Fujii
- P53 Effects of solution treatment and laser irradiation conditions on the hardness and microstructure of a β -type titanium alloy
T.Mitani, R.Hatakeyama, J.Kobayashi, S.Kuramoto
- P54 Discharge properties of Mg alloy and its dissolution behavior
H.Kawai, K.Yamamori, M.Yuasa, H.Miyamoto
- P55 SEM observations of the ageing treatment of Al-7%Si-0.3%Mg alloy slowly cooled to 473K by steel mold casting
M.Abe, T.Tsuchiya, S.Lee, A.Ahmed, S.Ikeno, K.Matsuda
- P56 Effects of welding conditions in friction stir welding using a tapered-shoulder tool on hardness distribution and welding temperature of various aluminum alloys
S.Kawabata, T.Ito, H.Hori
- P57 Effect of distance from welding center on aging behavior in friction stir welded A2024 aluminum alloy
A.Tsuji, T.Ando, Y.Tayu, K.Yoshida, K.Onodeta, Y.Sakuraba, R.Uetake, R.Kawakami
- P58 Microstructure and mechanical properties of rolled Ti-O alloys
K.Horiuchi, T.Ito
- P59 Relationship between microstructural factors and corrosion resistance in AZ31 magnesium alloy using machine learning
A.Nakata, H.Satou, M.Yuasa, H.Miyamoto
- P60 Evaluation of mechanical properties and biodegradable behavior of biodegradable Mg-Zn-Si alloy for dental membrane
M.Taniguchi, S.Ashida, M.Murta, T.Nakatsuji, N.IKEO, T.Mukai
- P61 *In-situ* neutron diffraction study on tensile behavior of extruded Mg-Y-Zn alloys at low temperatures
R.Fujisaki, S.Nishimoto, S.Harjo, W.Gong, K.Hagihara, M.Yamasaki
- P62 Effect of microstructure factors on the kinetics of grain boundary reaction-type microstructure formation in γ -TiAl-based alloy
S.Masaki, T.Kanda, R.Yamagata, T.Itoi
- P63 Plasticity deformation mechanism of oxygen added Ti-12Mo-5Zr alloys
A.Hashimoto, T.Shiraishi, A.Vinogradov, T.Kiguchi
- P64 Evaluation of Impurity Element Behavior in Magnesium Alloys and Its Implications for Alloy Design
D.Izumi, T.Ito
- P65 Relationship between age hardening phenomenon and nano-structures in heat-resistant aluminum alloys
R.Hanaoka, S. Nakagawa, Y. Shinzato, T. Minoda, T. Homma
- P66 Influence of contents of β stabilizers in high-temperature resistant Ti-Al-Zr alloy system on microstructures
H.Kato, T.Ando, D.Kudo, Y.Koyanagi, T.Homma
- P67 Corrosion and Mechanical Behavior of Solution-Treated and Steam-Coated Mg-6Al-1Zn-2Ca Alloy
H.Ohuchi, Y.Atsumi, K.Fukuhara, T.Ishizaki
- P68 Temperature condition of simulated cell wall in aluminum alloy foam via semi-solid route
D.Iizuka, N.Tsuchida, T.Kato, S.Takamatsu, S.Suzuki

- P69 Change of crystal orientation during heating in strain-induced Al-6.4 mass%Si alloy
T.Kato, N.Tsuchida, D.Iizuka, S.Takamatsu, S.Suzuki
- P70 High corrosion protection and structure of oxide film by anodizing and high temperature and humidity treatment of 1050 aluminum
M.Yamaguchi, K.Saitoh, M.Chiba
- P71 Evaluation of plastic deformation behavior of aluminum alloy plate using Mechanoluminescence and DIC analysis
S.Inoue, K.Kanamaru, R.Matsumoto, N.Maruyama, H.Utsunomiya
- P72 Evaluation of adhesion strength and corrosion resistance of graphene oxide coating on a magnesium alloy utilizing silane coupling
J.Sasamoto, W.Sakamoto, Y.Onuki
- P73 Measurement of VOC during twin roll casting of aluminium alloy AC7A using LoRaWAN
H.Aoshima, Y.Sekiguchi, Y.Hara, H.Oku, N.Nakazawa, M.Araki, T.Saitoh, K.Kumamaru, S.Nishida
- P74 Effect of solid phase ratio on microstructure of thin-walled sections in semi-solid forging of ADC12 aluminum alloy
H.Ooya, H.Aoshima, S.Nishida
- P75 FEM analysis of powder metallurgy compression molding using industrial-grade pure aluminum
K.Miyauchi, Y.Sekiguchi, H.Aoshima, S.Nishida
- P76 Continuous casting of thin sheets of 7000 series aluminum alloy using copper rolls
S.Kando, Y.Sekiguchi, S.Nishida
- P77 Vertical twin roll casting of aluminum alloy AC7A using copper rolls
Y.Sekiguchi, S.Kando, S.Nishida
- P78 Effect of Solution Treatment on Corrosion Resistance and Mechanical Properties of Steam-Coated Mg-Al-Zn Alloys
K.Fukuhara, H.Ohuchi, Y.Atsumi, T.Ishizaki
- P79 Analysis of Internal Flow in the Shaping Process of Porous Aluminum Using X-ray Transmission
H.Nagai, Y.Matsushita, K.Amagai, Y.Hangai, N.Ota
- P80 Evaluation of charge-discharge characteristics by insertion organic sulfur compounds into the positive electrode of aluminum-ion rechargeable battery
M.Kadowaki, N.Tanifuji, Y.Noda, T.Tsuda
- PE81 Preparation of Ti-Sn amorphous alloy powders by mechanical alloying of brittle Ti_3Sn and Ti_6Sn_5 intermetallic compound powders
Pee-Yew Lee
- PE82 Effects of step quenching on the two-step aging behavior of recycled Al-Si-Cu-Mg-Fe alloys
R.Shinozaki, M.Shoji, A.Serizawa
- PE83 Analysis of localized deformation behavior and microstructural evolution in A1200 aluminum using in-situ XRD line-scan measurements
A.Inamura, H.Adachi
- PE84 Effect of Cu concentration at grain boundary area on in-situ electrochemical corrosion morphology and stress corrosion sensitization of Al-Zn-Mg-Cu alloy
Y.Zou, T.Tsuchiya, A.Ahmed, S.Lee, S.Ikeno, K.Matsuda
- PE85 Microstructure and mechanical properties of 530 MPa-class LPSO-type Mg-Ni-Y-Zr cast-extruded alloy
Z.Qiu, S.Inoue, Y.Kawamura
- PE86 Effect of intermediate stage natural aging and hardness variation during final aging of Al-Mg-Si alloys
T.S.Quan, T.Tsuchiya, S.Lee, A.Ahmed, S.Ikeno, K.Matsuda
- PE87 Elucidation of corrosion behavior and its orientation dependence of extruded Mg-Y-Zn alloys using AE measurement method
L.Xing, A.Furukawa, S.Nishimoto, D.Drozdenko, M.Yamasaki